

A Journal of

Zeitschrift für Naturforschung B

# Chemical Sciences

Gegründet 1946 in den Instituten  
der Max-Planck-Gesellschaft

Band 49 1994

49 b

1994

855 - 1862

in Index

80



Verlag der Zeitschrift für Naturforschung

Tübingen

## Contents

### Contents of Number 1

#### *Original Communications*

##### Crystal Structure of SbCl<sub>4</sub>F (In German)

R. MINKWITZ, D. KONIKOWSKI, H. PREUT 1

##### LiBa<sub>4</sub>[Mo<sub>2</sub>N<sub>7</sub>] and LiBa<sub>4</sub>[W<sub>2</sub>N<sub>7</sub>]: New Nitrido-molybdates/tungstates(VI) with Dimeric Tetrahedral Anions (In German)

P. HÖHN, R. KNIEP, J. MAIER 5

##### Metal Tetrahydroborates and Tetrahydroborato-metalates, 18. Studies on the Formation of Cadmium(II)-tetrahydroborates with Tetrahydroborate and Iodide

H. NÖTH, M. THOMANN 9

##### The Isoelectronic Molecular Complexes

TiCl<sub>3</sub>(NPPh<sub>3</sub>) and TiCl<sub>3</sub>(OSiPh<sub>3</sub>) (In German)

T. RÜBENSTAHL, D. WOLFF VON GUDENBERG, F. WELLER, K. DEHNICKE, H. GOESMANN 15

##### Complexes of Copper, Silver, and Gold with Urea Homologues. Crystal Structures of [({μ<sup>2</sup>-SeC(NH<sub>2</sub>)<sub>2</sub>}Ag{SeC(NH<sub>2</sub>)<sub>2</sub>}]<sub>2</sub><sup>2+</sup>·2Cl<sup>-</sup>·4DMF and [Ph<sub>3</sub>PAu{SC(NHMe)<sub>2</sub>}]<sup>+</sup>Cl<sup>-</sup>·SC(NHMe)<sub>2</sub>

W. EIKENS, P. G. JONES, J. LAUTNER, C. THÖNE 21

##### Gold-Alkali Metal-Systems, III. High Pressure Synthesis and Crystal Structure of Rb<sub>3</sub>Au<sub>7</sub> (In German)

K.-J. RANGE, G. H. GROSCH, F. RAU, U. KLEMENT 27

##### Reactions of Bis(hexamethyldisilazanyl)-manganese(II) with Nitrogen. Containing Ligands: Syntheses and X-Ray Structures of [Mn(1,10-phen){N(SiMe<sub>3</sub>)<sub>2</sub>}<sub>2</sub>] and [Mn(4,4'-bipy){N(SiMe<sub>3</sub>)<sub>2</sub>}<sub>2</sub>]·THF

M. ANDRUH, H. W. ROESKY, M. NOLTEMEYER, H.-G. SCHMIDT 31

##### Polysulfonylamines, LIV. (12-Crown-4)lithium Dimesylamide-Acetonitrile (3/2): A Crystal with Two Fundamentally Different Conformations of the Same Coronand (In German)

A. BLASCHETTE, K.-H. NAGEL, P. G. JONES 36

##### New Cyclophosphazenes with Metals of Main Group III as Building Blocks (In German)

R. HASSELBRING, H. W. ROESKY, A. HEINE, D. STALKE, G. M. SHELDRICK 43

##### Synthesis, Properties and Electronic Raman Spectra of Di(bromo)phthalocyaninatometalates(III) of the Iron Group Elements (In German)

S. SIEVERTSEN, H. SCHLEHAHN, H. HOMBORG 50

##### Cs<sub>2</sub>SnTe<sub>4</sub>, a Polytelluridostannate(IV) with Chain Structure $\text{[SnTe}_4^{2-}]$ (In German)

W. S. SHELDRICK, B. SCHAAF 57

##### Crystal Structure of Gadolinium(III)-sulfite Trihydrate Gd<sub>2</sub>(SO<sub>3</sub>)<sub>3</sub>·3H<sub>2</sub>O (In German)

H.-U. HUMMEL, P. JOERG, G. PEZZEI, A. WOLSKI 60

##### Cycloadditions, XXI. Aryl 2-methyl-2,3-butadienoates; Synthesis and Thermal Reactivity (In German)

G. HIMBERT, D. FINK, M. STÜRM 63

##### Transition Metal Complexes with Sulfur Ligands, C. Unexpectedly Facile Formation of Diazene Complexes and a New Type of Diastereomerism: [μ-N<sub>2</sub>H<sub>2</sub>{Fe(PPr<sub>3</sub>)<sub>2</sub>S<sub>4</sub>'}]<sub>2</sub> and Analogous Complexes with [FeS]-Centers. (S<sub>4</sub>'<sup>2-</sup> = 1,2-Bis(2-mercaptophenylthio)ethane(2-)) (In German)

D. SELLMANN, H. FRIEDRICH, F. KNOCH, M. MOLL 76

##### On Metal Alkyl and Aryl Compounds, Part 51. Unsymmetrical Diorganomagnesium Compounds. MgRR'(L) and Solvents Separated Ion Pairs with R = Me, Et, R' = Cyclopentadienyl, Indenyl, Fluorenyl, Phenylethyneyl, L = Tetra-

		Contents of Number 2
		<i>Original Communications</i>
methylethylenediamine, Pentamethyldiethylene-triamine (In German)		
H. VIEBROCK, D. ABELN, E. WEISS	89	
1,3-Dimethyl-1,3-diaza-2-R-5,6-benzo-2 $\lambda^3$ -phosphorinan-4-ones (R = F, Me <sub>2</sub> N, 2-Methyl-piperidino, MeC(:O)NH-) as Ligands in Transition-Metal Complexes; Synthesis and Structure of Dichloro-Platinum(II)- and Tetracarbonyl-Metal(0) Coordination Compounds (Metal = Cr, Mo and W) (In German)		
H.-J. PLINTA, I. NEDA, R. SCHMUTZLER	100	
Preparation and Properties of Rhodium(III) Complexes with the Tetradentate Ligand N,N'-Bis(2'-pyridinecarboxamide)-1,8-naphthalene		
E. MANESSI-ZOUPA, T. F. ZAFIROPOULOS, S. P. PERLEPES	111	
Ligand-Deficient Complexes of Cadmium. Synthesis and Spectroscopic Characterization of Molecular Pentafluorophenyl Cadmium Thiolates and the Structure of the Cubane Complex [{Cd(C <sub>6</sub> F <sub>5</sub> )(SBu') <sub>4</sub> } <sub>4</sub> ] (In German)		
A.-K. DUHME, H. STRASDEIT	119	
On the Chemistry of Resiniferonol, II. Preparation and Bioactivities of 15,16-Dihydrosimplexin and Methods for its Tritium Labeling		
T. SCHÄFER, B. SORG, C. KARALAI, E. HECKER	128	
Constituents of Euphorbiaceae, 13. Comm. Isolation and Structure Elucidation of Five Cerebro-sides from <i>Euphorbia characias</i> L.		
G. FALSONE, F. CATENI, M. BAUMGARTNER, V. LUCCHINI, H. WAGNER, O. SELIGMANN	135	
3,5-Di- <i>tert</i> -butylstyrenes: Synthesis of Bulky Polymer Building Blocks (In German)		
N. RISCH, B. MEYER-ROSCHER, M. LANGHALS	141	
<i>Notes</i>		
Chemistry of the 1,3,5-Triaza-2-phosphinane-4,6-diones. Part VI. Synthesis of 1,3,5-Triaza-2 $\lambda^3$ -, 1,3,5-Triaza-2 $\lambda^4$ - and 1,3,5-Triaza-2 $\lambda^5$ -phosphinane-4,6-diones (In German)		
M. FARKENS, T. G. MEYER, I. NEDA, R. SONNENBURG, C. MÜLLER, A. K. FISCHER, P. G. JONES, R. SCHMUTZLER	145	
Chemistry of the 1,3,5-Triaza-2-phosphorinanane-4,6-diones. Part VII. Synthesis of 2-Methoxy- and 2-Trimethylsiloxy-1,3,5-trimethyl-1,3,5-triaza-2 $\lambda^3$ -phosphorinanane-4,6-dione and 2-Chloro-1,3,5-trimethyl-1,3,5-triaza-2-oxo-2 $\lambda^4$ -phosphorinanane-4,6-dione (In German)		
I. NEDA, M. FARKENS, R. SCHMUTZLER	165	
Reactions of 2-Chloro- and 2-Organoamino-Substituted 5,6-Benzo-1,3-dimethyl-1,3,2-diazaphosphorinanane-4-ones with Azides (In German)		
I. NEDA, T. KAUKORAT, R. SCHMUTZLER	171	
Substituted Hydrazines as Ligands in Vanadium(III), -(IV) and -(V) Complexes. Synthesis and Characterization of [V(dipic)(NH <sub>2</sub> NHCOPh)(H <sub>2</sub> O) <sub>2</sub> ][VO(dipic)-(NHNCOPh)]·2H <sub>2</sub> O, [VO(dipic)(NHNHCO <sub>2</sub> Me)], [VO(dipic)(NH <sub>2</sub> NHCO <sub>2</sub> Me)], [VO(dipic)(NHNHCSPh)] and [VO('ONO')(NHNHCOPh)]·2H <sub>2</sub> O (In German)		
A. SUNDHEIM, C. THEERS, R. MATTES	176	
8-(Phenylamino)-1-naphthalene-silversulfonate (8,1 ANS-Ag) (In German)		
S. H. HÜTTENHAIN, W. BALZER	186	
The New Laves Phase Na <sub>2</sub> Ba		
G. J. SNYDER, A. SIMON	189	
A Structural Study on Indium Tris-thiocarbonates		
S. BHATTACHARYA, N. SETH, V. D. GUPTA, H. NÖTH, M. THOMANN	193	
Lithium Zincates with Heteroleptic Triorganylzincate Anion (In German)		

M. WESTERHAUSEN, B. RADEMACHER, W. SCHWARZ, S. HENKEL	199	Zinc Complexes of Dimethyl(phtaliimidoinetinyl)-phosphine Oxide	
Crystal Structure of the "Supramolecular" Silver(I)thiocyanate Cyclam Complex [Ag(SCN)·(C <sub>10</sub> H <sub>24</sub> N <sub>4</sub> ) <sub>1/2</sub> ] (In German)		S. VARBANOV, E. RUSSEVA, A. GANCHEV	258
J. PICKARDT, J. SHEN	211	Copper(II) Complexes of Hydrazone Derivatives	
A New Polyborate: The Heptaborate Ion in a Silver Icosadiborate (In German)		P. SOUZA, M. A. MENDIOLA, A. ARQUERO, V. FERNÁNDEZ, E. GUTIÉRREZ-PUEBLA, C. RUIZ-VALERO	263
U. TIMPER, G. HELLER	215	New Diels-Alder Reactions of (-)-Thebaine and First X-Ray Crystallographic Structure Analyses of the Cycloadducts	
Preparation and Spectroscopic Characterization of the Trihalogenophosphonium Salts PHal <sub>3</sub> X <sup>+</sup> MF <sub>6</sub> <sup>-</sup> (Hal = Cl, Br; X = H, D; M = As, Sb) (In German)		U. PINDUR, D. KEILHOFER, D. SCHOLLMAYER	272
R. MINKWITZ, B. BÄCK	221	On the Photodegradation of 1-(4-Chlorophenyl)-4,4-dimethyl-3-(1 H-1,2,4-triazol-1-ylmethyl)-pentan-3-ol (Folicur®) (In German)	
Metal Complexes with Biological Important Ligands, LXIX. Half-Sandwich Complexes of Cobalt(III), Rhodium(III), Iridium(III) and Ruthenium(II) with Anions of $\alpha$ -Hydroxyimino Acids (In German)		H. WAMHOFF, H. KOCH, R. FÖRSTER, C. HERRMANN, S. M. S. ATTA, M. R. MAHRAN, M. M. SIDKY	280
R. LAMPEKA, R. BERGS, R. KRÄMER, K. POLBORN, W. BECK	225	Structures of Sterically Overcrowded Molecules 39. Single Crystal and Gas Phase Structures of 1,4-Bis(trimethylsiloxy)benzene (In German)	
Perfluorobenzyl Nitrogen Derivatives (In German)		H. BOCK, J. MEURET, J. W. BATS, Z. HAVLAS	288
G. KNITTER, U. BEHRENS, E. LORK, R. MEWS	233	Contents of Number 3	
Thiazyltrifluoride Complexes of Mg and Zn (In German)		<i>Original Communications</i>	
U. BEHRENS, R. HOPPENHEIT, W. ISENBERG, E. LORK, J. PETERSEN, R. MEWS	238	Crystal Structure of <i>trans</i> -Bis(acetonitrile)-dichloroplatinum(II)	
Lower Hydrates of Amines. Crystal Structures of the Hemihydrates of Ethyl- and Diethylamine and the Hemi- and Monohydrate of 1-Butylamine (In German)		J. KRITZENBERGER, H. YERSIN, K.-J. RANGE, M. ZABEL	297
D. MOOTZ, M. BORN	243	Phosphoraneiminato Clusters of Copper. Syntheses and Crystal Structures of [Cu <sub>6</sub> Cl <sub>6</sub> (NPMe <sub>3</sub> ) <sub>4</sub> ]Cl[Me <sub>3</sub> SiNPMe <sub>3</sub> ] <sup>·</sup> CH <sub>2</sub> Cl <sub>2</sub> and [Cu <sub>6</sub> Cl <sub>6</sub> (NPMe <sub>3</sub> ) <sub>4</sub> ][Cu(Me <sub>3</sub> SiNPMe <sub>3</sub> ) <sub>2</sub> ]Cl <sub>2</sub> (In German)	
Synthesis and Structure of 1,2-Bis(organotin-boryl)ethene Derivatives (In German)		R. MEYER ZU KÖCKER, A. BEHRENDT, K. DEHNICKE, D. FENSKE	301
P. FRANKHAUSER, H. PRITZKOW, W. SIEBERT	250	Syntheses and Structure of 3,3-Diorganyl-2,4-dioxa-1,5-dithia-1,1,5,5-tetraoxid-3-silacyclohexanes and -heptanes (In German)	
Preparation and Structure of 2,3-Bis[2,4,6-tris(trifluoromethyl)phenyl]-1,2,3-selenadiphosphirane (In German)		P. SARTORI, R. JÜSCHKE, R. BOESE, D. BLÄSER	309
H. VOELKER, U. PIEPER, H. W. ROESKY, G. M. SHELDICK	255		

Synthesis and Complexation of 4,5-Cycloocta-2,3-dihydro-1,2,3-trimethyl-1,3-diborole (In German)		Synthesis, IR Spectrum and Crystal Structure of 1,3,5-Trichlortriazinium Hexachloroantimonate, $[\text{HC}_3\text{N}_3\text{Cl}_3]\text{SbCl}_6$ (In German)
U. FENNER, H. PRITZKOW, W. SIEBERT	315	F. WELLER, F. SCHMOCK, K. DEHNICKE, K. FINDEISEN
Crystal Structure of the “Supramolecular” Mercury(II) Chloride Thiocyanate Hexamethylenetetramine Adduct $\text{Hg}(\text{SCN})_2 \cdot 2\text{HgCl}_2 \cdot 2\text{C}_6\text{H}_{12}\text{N}_4$ (In German)		Structures and Magnetic Properties of Dinuclear Iron(III) Complexes
J. PICKARDT, G.-T. GONG, D. RÖLEKE	321	A. ELMALI, Y. ELERMAN, I. SVOBODA, H. FUSS, K. GRIESAR, W. HAASE
Crystal Structure of Two Zinc Thiocyanate Hexamethylenetetramine Adducts, $\text{Zn}(\text{SCN})_2 \cdot (\text{C}_6\text{H}_{12}\text{N}_4)_2$ , and $\{\text{Zn}(\text{SCN})_2 \cdot \text{C}_6\text{H}_{12}\text{N}_4 \cdot 2\text{H}_2\text{O}\}_n$ , with Differently Coordinated Zinc Ions (In German)		The THF-9-Sodiooxy-9-borabicyclo[3.3.1]nonane Tetramer (In German)
J. PICKARDT, G.-T. GONG, S. WISCHNACK, CH. STEINKOPFF	325	R. KÖSTER, G. SEIDEL, D. BLÄSER, R. BOESE
Mononuclear Ruthenium(III) Complexes of the Type $\text{LRuX}_3$ ( $\text{X} = \text{Cl}^-$ , $\text{NCO}^-$ , $\text{NCS}^-$ , $\text{N}_3^-$ ; $\text{L} = 1,4,7$ -Trimethyl-1,4,7-triazacyclononane) (In German)		Dimeric Hydrochalcogeno-9-BBN Compounds – Formation and Crystal Structure (In German)
R. SCHNEIDER, TH. JÜSTEL, K. WIEGHARDT, B. NÜBER	330	R. KÖSTER, G. SEIDEL, D. BLÄSER, R. BOESE
Poly(trifluoromethanesulfonatosilyl)methanes – Precursors to Polysilylmethanes		Hindered Ligand Movements in Transition Metal Complexes, XLIII: Photoreactions of Hexacarbonyl- $\mu$ - $\eta^{5:5}$ -fulvalene-dimolybdenum and -ditungsten with Conjugated Cyclodienes (In German)
S. BOMMERS, H. SCHMIDBAUR	337	C. G. KREITER, W. CONRAD
$\text{M}_4\text{OS}_4\text{Cl}_2$ -Type Oxysulfide Chlorides of the Lanthanides ( $\text{M} = \text{La-Nd}$ ) (In German)		Convenient Synthesis of 2,2-Diethoxy-2,5-dihydrofurans, 2(5H)-Furanones and 2-Ethoxyfurans. Crystal and Molecular Structure of a Barrelenone Diels-Alder Product (In German)
TH. SCHLEID, F. LISSNER	340	R. W. SAALFRANK, W. HAFNER, J. MARKMANN, A. WELCH, K. PETERS, H. G. VON SCHNERING
Crystal Structure of Gadolinium-(III)-hydrogen sulfate $\text{Gd}(\text{HSO}_4)_3$ (In German)		New Dimeric Tetrapeptide Enkephalin Analogs. Hydrophilic Spacer Length and Configuration Affects Potency and Receptor Selectivity
H.-U. HUMMEL, P. JOEG, G. PEZZEI, A. WOLSKI	347	J. STĘPIŃSKI, S. W. TAM
Synthesis and Crystal Structure of $\text{KCuHo}_2\text{Mo}_4\text{O}_{16}$ (In German)		Phase Diagrams and Excess Volumes of the Systems $(\text{CH}_3)_2\text{SiCl}_2$ /Pyridine and $(\text{CH}_3)_2\text{CCl}_2$ /Pyridine (In German)
H. SZILLAT, H. MÜLLER-BUSCHBAUM	350	M. W. ZENKE, K. HENSEN
Synthesis and Crystal Structure of an Alkaline Alkaline-Earth Halide Oxide of Copper and Vanadium: $\text{KBaCuV}_2\text{O}_7\text{Cl}$ (In German)		The Direct Synthesis of Secondary Amides from Aldehydes; A Novel General Redox Procedure Mediated by Iodotrichlorosilane (ITCS)
F.-D. MARTIN, H. MÜLLER-BUSCHBAUM	355	S. S. ELMORSY, D. S. BADAWY, M. A. NOUR, E. M. KANDEEL

*Notes*

- The Crystal Structure of  $\text{AsF}_5 \cdot \text{OSCF}_2\text{S}(\text{O}_2)\text{CF}_2$  (In German)  
E. LORK, U. BEHRENS, D. VIETS, R. MEWS 422
- Synthesis and Crystal Structure of  $[\{\text{Cp}(\text{CO})_2\text{Fe}\}_2\text{Sn}(\text{F})\text{FBF}_3]$  (In German)  
K. MERZWEILER, L. WEISSE, H. KRAUS 425
- The X-Ray Structure Determination of the Pyrrolides  $(\text{CH}_3)_2\text{Al}-\text{C}_4\text{H}_3\text{NCH}_3$  and  $(\text{CH}_3)_2\text{Ga}-\text{N}(\text{CCH}_3)_4$  (In German)  
H.-D. HAUSEN, J. TÖDTMANN, J. WEIDLEIN 430
- Synthesis and Crystal Structure of  $[\text{Na}(12\text{-Crown-4})_2]_2[\text{Fe}_4\text{Se}_4\text{Cl}_4]$  (In German)  
A. AHLE, K. DEHNICKE, C. MAICHLE-MÖSSMER, J. STRÄHLE 434

## Contents of Number 4

*Original Communications*

- The Crystal Structure of *trans*-1,3,5-Trichloro-1,3,5-trioxo-1 $\lambda^6$ ,3 $\lambda^6$ ,5 $\lambda^6$ ,2,4,6-trithiatriazine ( $\beta$ -Sulfanuric Chloride) (In German)  
E. LORK, U. BEHRENS, G. STEINKE, R. MEWS 437
- The Crystal Structure of the Tetrameric Adduct of Antimony Trichloride and Phosphoryl Isothiocyanate,  $[\text{SbCl}_3 \cdot \text{OP}(\text{NCS})_3]_4$   
A. V. SIENKIEWICZ, A. A. KAPSHUK 441
- Chemistry of the 1,3,5-Triaza-2-phosphorinan-4,6-diones. Part VIII. Further 1,3,5-Triaza-2 $\lambda^3$ - and 1,3,5-Triaza-2 $\lambda^4$ -phosphorinan-4,6-diones with (2-Chloroethyl)amino- and Bis(2-chloroethyl)amino Substituents (In German)  
M. FARKENS, I. NEDA, R. SCHMUTZLER 445
- Synthesis of Ethylene Bridged Biscyclopentadiene Ligand Precursor Compounds and Some of their *ansa*-Zirconocene Derivatives *via* Chiral Epoxides: A Synthetic Strategy of High Variability  
B. RIEGER, G. JANY, M. STEIMANN, R. FAWZI 451

- Supermesityl-Substituted Hydrazinoboranes (In German)  
M. GESCHWENTNER, G. ELTER, A. MELLER 459
- New Organoboran Heterocycles: Benzo-1,4-diboracycloheptene-2, 1,4-Diboracyclopentene-2 and the Isomeric 6,6-Dimethyl-2-methylidene-1,3-diboracyclohexane (In German)  
H. SCHULZ, H. SEYFFER, B. DEOBALD, H. PRITZKOW, W. SIEBERT 465
- Preparation,  $^{11}\text{B}$ ,  $^{13}\text{C}$  NMR and Vibrational Spectra of Cyanomethylhexahydro-closo-hexaborate(1-),  $[\text{B}_6\text{H}_6(\text{CH}_2\text{CN})]$ , and the Crystal Structure of  $[\text{P}(\text{C}_6\text{H}_5)_4][\text{B}_6\text{H}_6(\text{CH}_2\text{CN})]$  (In German)  
A. FRANKEN, W. PREETZ 471
- Transition Metal Pnictide Synthesis: Self Propagating Reactions Involving Sodium Arsenide, Antimonide and Bismuthide  
A. L. HECTOR, I. P. PARKIN 477
- Metal Complexes of Biologically Important Ligands, LXXII. Half Sandwich Iridium(III) and Ruthenium(II) Complexes with Dianions of 2-Hydroxyiminocarboxylic Acids (In German)  
R. BERGS, R. LAMPEKA, CH. ROBL, W. BECK 483
- Preparation and Crystal Structure of Bis(trimethylammonium)hexasulfide  $[\text{HN}(\text{CH}_3)_3]_2\text{S}_6$  (In German)  
C. MÜLLER, P. BÖTTCHER 489
- Homoleptic Carbene Complexes, V. Chelating Percarbene Complexes of Palladium and Platinum (In German)  
W. P. FEHLHAMMER, TH. BLISS, W. SPERBER, J. FUCHS 494
- $\text{Sr}_3[\text{Al}_2\text{N}_4]$ : A Nitridoaluminate with Corrugated Tetrahedral Chains  $[\text{AlN}_{4/2}]^{3-}$  (In German)  
W. BLASE, G. CORDIER, M. LUDWIG, R. KNIEP 501
- $\mu_2$ -Chloro Complexes of Succinimide and N-Chlorosuccinimide. The Crystal Structures of  $\text{PPh}_4[\text{Cl}(\text{Succinimide})_2]$ ,  $\text{PPh}_4[\text{Cl}(\text{N}-\text{Cl}-\text{Succinimide})_2]$  and N-Chlorophthalimide (In German)  
M. GHASSEMZADEH, K. HARMS, K. DEHNICKE, J. MAGULL 506

Metal Complexes of Functionalized Sulfur Containing Ligands, VIII. 4-Phenyl-1,2-dithiolane-1-oxide, a Stable, Five-Membered Cyclic Thiosulfinate (In German)	Notes
W. WEIGAND, G. BOSL, B. VON DIELINGEN, K. GOLLNICK	513
Homoleptic 1,4-Diazadiene Compounds of Early Transition Metals. Syntheses, Properties and Structures of (DAD) <sub>2</sub> Ti and (DAD) <sub>3</sub> Ti (In German)	The Crystal Structure of Tetraphenylarsonium-chloride Dihydrate (In German)
R. GODDARD, C. KRÜGER, G. A. HADI, K.-H. THIELE, J. SCHOLZ	519
Electron Transfer and Ion Pair Formation, 33. The Single Electron Reduction of Tetraphenyl-p-benzoquinone by Alkali Metals: ENDOR Spectra of Contact Ion Pairs as well as Triple Ions in Solution and Single Crystal Structures of Both the Neutral Compound and its Sodium Salt (In German)	M. ANDRATSCHKE, A. DASSLER, U. KLEMENT, K.-J. RANGE
H. BOCK, A. JOHN, M. KLEINE, CH. NÄTHER, J. W. BATS	529
Cycloadditions, XXII. Synthesis and Thermal Reaction of S-(Alkyl/Aryl)-2,3-butadiene-thioates (In German)	Erratum
G. HIMBERT, D. FINK	542
Complexing Ability of Some 2-Spirothiazolid-4-one Derivatives	Contents of Number 5
M. A. EL-GAHAMI, M. F. EL-ZOHRY	551
Crystal and Molecular Structure of Aminoguanidine Sulphate, an Important Enzyme Inhibitor and Starting Material of Drug Syntheses	<i>Original Communications</i>
M. KOSKINEN, I. MUTIKAINEN, H. ELO	556
On the Chemistry of Roccellic Acid (In German)	On the Crystal Chemistry of Oxoplatinates. A New Phase of the Composition $Sr_{4-x}Na_xPtO_6$ ( $x = 0.33$ ) (In German)
S. HUNECK, J. SCHMIDT, A. PORZEL	561
Synthesis and Spectroscopic Properties of the Stereoisomeric Esters from L- and D-N-Benzoylalanin and L- and D-N-Benzoylalaninol (In German)	G. TAMS, HK. MÜLLER-BUSCHBAUM
S. HUNECK, A. PORZEL	569
$\mu_2$ -Halogeno Complexes of N-Bromosuccinimide and N-Bromophthalimide. The Crystal Structures of $PPh_4[X(N\text{-Bromosuccinimide})_2]$ and $PPh_4[X(N\text{-Bromophthalimide})_2]$ with X = Cl and Br (In German)	A Contribution to the Crystal Chemistry of Alkaline Alkaline Earth Precious Metal Perovskites Synthesis and Crystal Structure of $NaBa_4Cu_{0.5}Pt_{1.5}O_8$ (In German)
	G. TAMS, HK. MÜLLER-BUSCHBAUM
$\mu_2$ -Halogeno Complexes of N-Iodosuccinimide. The Crystal Structures of $PPh_4[X(N\text{-Iodosuccinimide})_2]\cdot CH_3CN$ with X = Cl, Br, I (In German)	The First Oxocuprate/Arsenate Containing Mixed Valent Copper: $Cu(Mg_{2.56}Cu_{0.44})Cu(AsO_4)_3$ (In German)
	D. OSTERLOH, HK. MÜLLER-BUSCHBAUM
$\mu_2$ -Halogeno Complexes of N-Iodosuccinimide. The Crystal Structures of $PPh_4[X(N\text{-Iodosuccinimide})_2]\cdot CH_3CN$ with X = Cl, Br, I (In German)	$\mu_2$ -Halogeno Complexes of N-Bromosuccinimide and N-Bromophthalimide. The Crystal Structures of $PPh_4[X(N\text{-Bromosuccinimide})_2]$ and $PPh_4[X(N\text{-Bromophthalimide})_2]$ with X = Cl and Br (In German)
	M. GHASSEMZADEH, K. HARMS, K. DEHNICKE, D. FENSKE
	M. GHASSEMZADEH, K. DEHNICKE, H. GOESMANN, D. FENSKE
	593
	602

Benzylidene- and Metnylene-bis-silyl triflates as New Synthetic Materials for Organosilicon Polymers (In German)		Preparation and Crystal Structure of the Cesium Selenidogermanates(IV) $\text{Cs}_4\text{Ge}_4\text{Se}_{10} \cdot 2\text{CH}_3\text{OH}$ and $\text{Cs}_4\text{Ge}_2\text{Se}_8$ (In German)	
W. UHLIG	609	W. S. SHELDRICK, B. SCHAAF	655
Crystal Structure of Lead(II) Complexes with 2,2'-Iminodiethanol		Transition Metal Complexes with Sulfur Ligands, Cl. Synthesis and Structure of $\text{N}_2\text{H}_5[\text{Fe}(\text{N}_2\text{H}_4)(\text{S}_2\text{C}_6\text{H}_4)_2] \cdot 1,33\text{N}_2\text{H}_4$ (In German)	
A. V. SIENKIEWICZ, V. N. KOKOZAY	615	D. SELLMANN, H. FRIEDRICH, F. KNOCH	660
New Organometallic Tin–Tellurium Compounds. Syntheses and Crystal Structures of $[(\text{Cp}(\text{CO})_2\text{Fe})_4\text{Sn}_2\text{Te}_2]$ , $[(\text{Cp}(\text{CO})_3\text{Mo})_4\text{Sn}_2\text{Te}_2]$ and $[(\text{Cp}(\text{CO})_3\text{Mo})_4\text{Sn}_4\text{Te}_6]$ (In German)		Synthesis and Characterization of Cu(II) and Mono- and Dinuclear Pb(II) Complexes Derived from 3,5-Diacetyl-1,2,4-triazole	
K. MERZWEILER, H. KRAUS	621	P. SOUZA, A. I. MATESANZ, A. ARQUERO, V. FERNANDEZ	665
Preparation and Structure of Three Different Bis(ethylenediamine) Copper(II) Tetraborates (In German)		Unexpected Formation of 1-Amino-4,4,5,5-tetramethyl-3-(5,5,6,6-tetramethyl-1,4,5,6-tetrahydropyridazin-3-yl)pyrrolidin-2-one	
M. SHAKIBAIE-MOGHADAM, U. TIMPER, G. HELLER	627	J. VOSS, R. RÖSKE, G. ADIWIDJAJA	672
Crystal Structure of $\text{Sr}_{0.2}\text{Ca}_{2.8}\text{Tl}_2\text{O}_6$		Tris(1,10-phenanthroline)iron(II) Complexes. Influence of 4,7-Donor Substitution on the Redox Potential	
K. RUCK, H. BORRMANN, A. SIMON	635	M. LEVIS, U. LÜNING, M. MÜLLER, M. SCHMITTEL, C. WÖHRLE	675
The Anion $[\text{R}_2\text{Al}-\text{AlR}_2\text{Br}]^-$ ( $\text{R} = \text{CH}(\text{SiMe}_3)_2$ ) with an Aluminium-Aluminium and a Terminal Aluminium-Bromine Bond (In German)		A Pentamethylcyclopentadienyl Ligand Functionalized with a Pendant Pyridyl Group; Crystal Structure of its Ferrocene-Type Iron Complex	
W. UHL, U. SCHÜTZ, S. POHL, W. SAAK	637	U. SIEMELING, B. NEUMANN, H.-G. STAMMLER	683
Gold(I) Complexes of Organic Nitrogen Compounds: Synthesis and Structures of (Phthalimido)(triphenylphosphine)gold(I) in Crystals $\text{C}_6\text{H}_4(\text{CO})_2\text{N}(\text{AuPPh}_3)$ and $\text{C}_6\text{H}_4(\text{CO})_2\text{N}(\text{AuPPh}_3) \cdot \text{CHCl}_3$		Synthesis of Novel 3-Acetyl-2-hydroxy-1-N,N-diacetylaminocarbazole Derivatives	
P. LANGE, A. SCHIER, J. RIEDE, H. SCHMIDBAUR	642	M. SEKAR, S. VANITHA, K. J. RAJENDRA PRASAD	687
A New Synthesis of Dimethylgold(III) Chloride Using Tetramethyltin		New Synthetic Routes to Homonuclear Cobalt Hydride Clusters (In German)	
M. PAUL, H. SCHMIDBAUR	647	J. J. SCHNEIDER	691
The Crystal Structures of $\text{Li}[\text{PF}_6]$ and $\text{Li}[\text{AsF}_6]$ : On the Crystal Chemistry of Compounds $\text{A}[\text{E}^{\text{V}}\text{F}_6]$ (In German)		Covalent Adducts from 2-Substituted 5-Arylazotropones and Nucleophiles and their Fate	
C. RÖHR, R. KNIEP	650	M. CAVAZZA, F. PIETRA	697

Solid Phase Synthesis of Muramyl Dipeptide Derivatives and Investigations on their Biological Activities (In German)		Preparation, Vibrational Spectra, and Normal Coordinate Analysis of Bromo-Iodo-Rhenates(IV), $[ReBr_nI_{6-n}]^{2-}$ , $n = 0-6$ (In German)	
J. TSCHAKERT, W. VOELTER	702	P. PRILLWITZ, W. PREETZ	753
<i>Notes</i>			
Synthesis and Spectroscopic Study of Pentacarbonyl( $\eta^2$ -tetracyanoethylene) Metal(0) Complexes of the Group 6B Elements		Thermodynamic Examinations on the Lewis Acidity of Trimethylchlorosilane – the Phase Diagrams and Excess Volumes of the Systems $(CH_3)_3SiCl$ /Pyridine and $(CH_3)_3CCl$ /Pyridine (In German)	
I. A. MOUR, S. ÖZKAR	717	M. W. ZENKE, K. HENSEN	759
<b>Contents of Number 6</b>			
<i>Original Communications</i>			
Compounds at the Zintl Border: Preparation and Crystal Structure of $Na_{17}Ga_{29}In_{12}$ and $K_{17}In_{41}$ (In German)		Fusing Nickelocene and Cyclopentadiene by Two Silyl Bridges. Synthesis and $^1H$ , $^{13}C$ , and $^{29}Si$ NMR Investigation of a Paramagnetic Building Block for High-Nuclear Metallocenes	
G. CORDIER, V. MÜLLER	721	M. FRITZ, J. HIERMEIER, F. H. KÖHLER	763
On the Preparation of $(CH_3)_2SSSH^+SbF_6^-$ and $(CH_3)_2SSSCH_3^+SbCl_6^-$ (In German)		Structures of Two Polynuclear Nickel-Thiolato-Complexes $[(\mu-SMe)_2(Ni(MeNHCS_2))_2]$ and <i>cyclo</i> - $[(\mu-SMe)_2Ni]_6$ (In German)	
R. MINKWITZ, A. KORNATH	729	K. SCHULBERT, R. MATTES	770
Structure and Doping of Seleno Silicates: the Crystal Structures of $Er_2SeSiO_4$ and $Er_{3.75}Ca_{0.25}Se_{2.75}Cl_{0.25}Si_2O_7$ (In German)		Contributions to the Chemistry of Phosphorus, 228. Functionalized Diphosphanes as Synthetic Building Blocks: $LiH(t-BuP)_2$ , $Li_2(t-BuP)_2$ , $K_2(i-PrP)_2$ , $(i-PrP)_2Cl_2$ (In German)	
K. STÖWE	733	M. BAUDLER, H. TSCHÄBUNIN, H. SUCHOMEL, J. HASENBACH	773
Formation of Iodoantimonates and Bismutates. Crystal Structures of $(PhCH_2NEt_3)_4[Sb_6I_{22}]$ , $(PhCH_2NEt_3)_4[Bi_6I_{22}]$ and $(Ph_4P)_3[Bi_5I_{18}]$ (In German)		Luminescence Quenching and Photooxidation of Trichlorostannate(II) by Oxygen	
S. POHL, M. PETERS, D. HAASE, W. SAAK	741	A. BECHT, A. VOGLER	778
$U_3TiSb_5$ , $U_3VSb_5$ , $U_3CrSb_5$ , and $U_3MnSb_5$ with “Anti”- $Hf_5Sn_3Cu$ Type Structure		Polynuclear Gold(I) Complexes of Dendritic Amines: Formation of Terminal Tris[(triphenylphosphine)aurio(I)]ammonium Groups – $N(AuPPh_3)_3^{1+}$ (In German)	
M. BRYLAK, W. JEITSCHKO	747	P. LANGE, H. BERUDA, W. HILLER, H. SCHMIDBAUR	781
Compounds Involving the 5,6-Benzo-1,3,2-diaza-phosphorinane-4-one Ring System: Synthesis of 2-Chloro-, 2-N,N-dimethylamino- and 2-Bis-(2-			

chloroethyl)amino-Substituted Derivatives with Three- and Four-Coordinated Phosphorus (In German)	<i>Notes</i>
R. SONNENBURG, I. NEDA, A. FISCHER, P. G. JONES, R. SCHMUTZLER	788
Organophosphorus Compounds with Tertiary Alkyl Substituents. III: Synthesis and Reactions of Di-1-adamantyl-Substituted Phosphorus Compounds; Crystal Structure of Di-1-adamantyl-phosphinic Chloride (In German)	G. C. PAPAVASSILIOU, I. B. KOUTSELAS
J. R. GOERLICH, A. FISCHER, P. G. JONES, R. SCHMUTZLER	801
Excitonic Bands in the Optical Absorption Spectra of $A_3MX_6$ and $A_3M_2X_9$ ( $A = MeNH_3, Me_2NH_2, Me_3NH, Me_4N$ ; $M = Bi, Sb$ ; $X = Cl, Br, I$ )	849
Formation and Crystal Structure of the Complex [(18-Crown-6)( $CH_2Cl_2$ ) <sub>2</sub> ] (In German)	P. G. JONES, O. HIEMISCH, A. BLASCHETTE
Crystalchemical Analysis of the Stereochemistry of the Cations and Anions in Bis(triphenylphosphine)iminium Di(phthalocyaninato)metalates of the Rare Earth Elements, $(PNP)[Ln(Pc^{2-})_2] \cdot xH_2O$ ( $Ln = La, Gd, Tm$ ; $x \leq 0.5$ ) (In German)	852
M. S. HAGHIGHI, A. FRANKEN, H. HOMBORG	812
Original Communications	
Transition Metal Complexes with Sulfur Ligands, CV. Ni(II) and Ni(III) Complexes with the Pentadentate Thioether-Thiolate-Amine-Ligand ' $N_{Me}S_4^{2-}$ ' ( $N_{Me}S_4^{2-}$ = Dianion of 2,2'-Bis(2-mercaptophenylthio)diethylmethylamine) (In German)	M. BAIER, K. ANGERMAIER, H. SCHMIDBAUR
D. SELLMANN, T. HOFMANN, F. KNOCH	821
Synthesis of Alkyne, Alkynyl and Vinylidene Rhodium Complexes from Alkynyltriphenylsilanes (In German)	M. BAUM, B. WINDMÜLLER, H. WERNER
Organometallic Oxides: The Crystal Structure of $[(\eta-C_5H_5)Ti]_8(\mu-O)_{12}$ (In German)	855
F. HESHMATPOUR, S. WOCADLO, W. MASSA, K. DEHNICKE, F. BOTTOMLEY, R. W. DAY	827
Synthesis, $^{121}Sb$ -Mößbauer Spectra and Structures of $[SbF_3(18\text{-Crown-6})]$ , $[SbF_3(18\text{-Crown-6}) \cdot CH_3CN]$ , and $[(SbF_3)_2(12\text{-Crown-4})]$ (In German)	I. BECKER, M. WINDHAUS, R. MATTES
Silaheterocycles, XXVII. Controlling the Cycloaddition Behavior of Silenes by Substituent Effects (In German)	870
N. AUNER, C. WAGNER, W. ZICHE	831
A Cyclic Organoantimony(III) Oxide, $(RSbO)_4$ [ $R = Me_3Si_2CH$ ] (In German)	H. J. BREUNIG, M. A. MOHAMMED, K. H. EBERT
Pd(II) and Pt(II) Complexes of 1,2-Bis(pyridin-2-yl)ethane- <i>N,N'</i> '	877
A. McFARLANE, J. R. LUSTY, J. J. FIOLE, A. TERRÓN, E. MOLINS, C. MIRAVITLLES, V. MORENO	844
On the Reactions of Molecules $(R_2CS)_2$ ( $R = CF_3, Cl$ ) and $Cl_2CS$ with $XeF^+MF_6^-$ ( $M = As, Sb$ ) and Crystal Structure of $(CF_3)_2CSC(CF_3)_2SF^+SbF_6^-$ (In German)	R. MINKWITZ, B. BÄCK, H. PREUT
<i>Tripod</i> Ligands with Two Different Donor Groups: Synthesis and Coordination of $H_3CC(CH_2PPh_2)(CH_2OH)$ (In German)	881
A. MUTH, G. REINHARD, G. HUTTNER, TH. SEITZ, TH. KLEIN, L. ZSOLNAI	889

(Hydroxymethyl)diphenyl(piperidinoalkyl)silanes of the Type $(\text{HOCH}_2)(\text{C}_6\text{H}_5)_2\text{Si}(\text{CH}_2)_n\text{NC}_5\text{H}_{10}$ ( $n = 2, 3$ ) and their Methiodides: Synthesis, Structure and Antimuscarinic Properties (In German)	Studies on Bis-hydrazine Complexes of Metal Propionates and Mixed Metal Propionates B. N. SIVASANKAR, S. GOVINDARAJAN	950
R. TACKE, M. KROFGANS, A. TAFEL, F. WIESENBERGER, W. S. SHELDRICK, E. MUTSCHLER, H.J. EGERER, N. RETTENMAYR, J. GROSS, M. WAELBROECK, G. LAMBRECHT	A. LENZ, K. POLBORN, W. BECK	898
A Mixed Valent Oxometallate with $\text{Cr}^{3+}$ Instead of $\text{Ti}^{3+}$ : $\text{Ba}_2\text{Ti}_4^+\text{Cr}_2\text{O}_{13}$ (In German) S. MÖHR, HK. MÜLLER-BUSCHBAUM	Chemistry of Gallium, III. Synthesis and Structure of a Tetraamino-Substituted Digallane G. LINTI, R. FREY, M. SCHMIDT	911
On a Mixed Valent Oxoniobate Containing Planar Polygons Around Niobium and Barium: $\text{BaNb}^{2+}\text{Nb}_2^{4+}\text{O}_6$ (In German) S. MÖHR, HK. MÜLLER-BUSCHBAUM	1,3-Dipolar Cycloaddition of Dinitrones – Formation of Tricyclic Dimers (In German) H. G. AURICH, A. CHAIR	915
On EuBeGd <sub>2</sub> O <sub>5</sub> and on Phases of the Composition $\text{M}_{1-x}\text{M}'_x\text{BeLn}_2\text{O}_5$ : $\text{Ca}_{0.4}\text{Sr}_{0.6}\text{BeSm}_2\text{O}_5$ , $\text{Ba}_{0.25}\text{Ca}_{0.75}\text{BeNd}_2\text{O}_5$ and $\text{Ba}_{0.36}\text{Sr}_{0.64}\text{BeNd}_2\text{O}_5$ (In German) HK. MÜLLER-BUSCHBAUM, S. FRENZEN	5-Alkoxy(Aralkoxy)-3,6-dihydro-2H-1,3,4-oxadiazin-2-ones(thiones) from 2-Hydroxycarbonylhydrazone Esters (In German) D. GEFFKEN, C. HOLST	919
On SrCo <sub>2</sub> V <sub>2</sub> O <sub>8</sub> and SrCo <sub>2</sub> (AsO <sub>4</sub> ) <sub>2</sub> (In German) D. OSTERLOH, HK. MÜLLER-BUSCHBAUM	Isolation of Venturicidin X, the Aglycon of Venturicidines A and B from Streptomyces sp. H. LAATSCH, M. KELLNER, Y-S. LEE, G. WOLF	923
$\text{Cd}_{0.73}\text{Cu}_{0.27}\text{V}_2\text{O}_6$ : A Compound with Brannerite Structure (In German) S. MÜNCHAU, HK. MÜLLER-BUSCHBAUM	Notes	927
Monomeric $[(\text{Me}_3\text{Si})_2\text{CH}]_2\text{Al}-\text{Te}-\text{Al}[\text{CH}(\text{SiMe}_3)_2]_2$ with a Bent Al–Te–Al Group (In German) W. UHL, U. SCHÜTZ	Tinorganic Fluorides Function as Fluorinating Reagents for Chlorides of Main Group Elements – Quantitative Recycling of the Fluorinating Reagent (In German) H. W. ROESKY, A. HERZOG, K. KELLER	931
NaK <sub>9</sub> Tl <sub>13</sub> : A New Compound at the Zintl Border with Isolated Tl <sub>12</sub> Icosahedra, Centered by Tl Atoms (In German) G. CORDIER, V. MÜLLER	Crystal Structure of $(\text{Ph}_3\text{PNH}_2)_4[\text{Sb}_6\text{O}_{10}\text{Cl}_{14}] \cdot 2\text{CH}_3\text{CN}$ (In German) D. FENSKE, R. GARBE, K. DEHNICKE	935
Chemistry of the 4,5-Benzo-3-methyl-1,3,2-oxaza-phosphorinan-6-one Ring System: X-Ray Crystal Structure Analysis of a Bis(2-chloroethyl)-amino- and of an Acetamido-Substituted Derivative (In German) A. FISCHER, I. NEDA, TH. KAUKORAT, R. SONNENBURG, P. G. JONES, R. SCHMUTZLER	$\text{Cu}_6\text{Br}_6(\text{NPMe}_3)_4$ , a Mixed-Valent Cluster of Copper (In German) R. MEYER ZU KÖCKER, K. DEHNICKE, D. FENSKE	939
	A Dimer of Ferroceno[1,2]cyclohexen-1-one-3 (In German) H. BRUNNER, M. MUSCHIOL, B. NUBER	987
		991

Rb'Fe <sub>6</sub> , a Polyteluride with Layer Structure [Te <sub>6</sub> <sup>-</sup> ] (In German)	The Binuclear Fe(III) Complex of N,N,N',N'-Tetrakis(2-pyridylmethyl)-2-hydroxy-1,3-diaminopropane – Molecular and Crystal Structure and its Interaction with Montmorillonite (In German)
W. S. SHELDICK, B. SCHAAF	A. WEISS, ST. DICK
993	1051
Erratum	
997	
 Contents of Number 8	
<i>Original Communications</i>	
Polysulfonylamines, LVIII. Conservation of the Conformation of the Uncomplexed Coronand in a Supramolecular 18-Crown-6 Complex: Formation and Crystal Structures of 18-Crown-6-Dimesylamine (3/2) and of Two Modifications of Free Dimesylamine (In German)	Synthesis and Spectroscopic Studies of Pentacarbonylfumaronitrile-chromium(0), -molybdenum(0), and -tungsten(0)
A. BLASCHETTE, P. G. JONES, K. LINOH, I. LANGE, M. NÄVEKE, D. HENSCHEL, A. CHRĄPKOWSKI, D. SCHOMBURG	I. A. MOUR, S. ÖZKAR, C. G. KREITER
999	1059
Interactions in Crystals, 35. Single Crystal Growths of Na <sup>⊕</sup> C(NO <sub>2</sub> ) <sub>3</sub> [***] from Ether Solutions to a Polymer Band [(Na <sup>⊕</sup> C(NO <sub>2</sub> ) <sub>3</sub> )-Dioxane] <sub>∞</sub> and to a Solvent-Separated Ion Pair [(Na <sup>⊕</sup> /18-Crown-6)(THF) <sub>2</sub> ] <sup>⊕</sup> [(Na <sup>⊕</sup> /18-Crown-6)-(ONO-C <sup>⊖</sup> (NO <sub>2</sub> ) <sub>2</sub> ) <sub>2</sub> ] <sup>⊖</sup> (In German)	Molecular and Crystal Structure of 8-(n-Butyl-amino-phenyl-methylidene)-1,2,3,4,5,6,7-hepta-thiocane (In German)
H. BOCK, T. HAUCK, C. NÄTHER, Z. HAVLAS	F. W. HEINEMANN, H. HARTUNG, N. MAIER, H. MATSCHINER
1012	1063
Structures of Charge-Perturbed Molecules, 47. Disodium and Dipotassium Nitranilates: The Cyanine Distortion of the Six-Membered Carbon Ring (In German)	Mößbauer Investigation of Ferrimagnetic Spinels in the System Cd <sub>x</sub> Ni <sub>1-x</sub> Fe <sub>2</sub> O <sub>4</sub> (In German)
H. BOCK, S. NICK, C. NÄTHER, J. W. BATS	E. RIEDEL, D. PRICK, E. WOLSKA
1021	1067
Crystal Structures of the [2.2.2]Cryptates [Cd(cryptand 222)][CdCl <sub>4</sub> ] and [Hg(cryptand 222)][Hg <sub>2</sub> Cl <sub>6</sub> ] with 8-Coordinated Metal Ions (In German)	MgNi <sub>2</sub> P – The First Ternary Phosphide with an Ordered Fe <sub>3</sub> C Type Structure (In German)
J. PICKARDT, B. KÜHN	V. KEIMES, A. MEWIS
1031	1071
1,2-Di(silyl)benzene and 1,4-Dibromo-2,5-di(silyl)-benzene	Dimorphic ThNi <sub>2</sub> P <sub>2</sub> with BaCu <sub>2</sub> S <sub>2</sub> and CaBe <sub>2</sub> Ge <sub>2</sub> Type Structure
R. SCHRÖCK, A. SLADEK, H. SCHMIDBAUR	J. H. ALBERING, W. JEITSCHKO
1036	1074
Stable and Unstable Products on the Reaction of 2,2-Diphenyl-1,2-dihydroquinolinenitroxide Radicals with Nitric Oxide (In German)	Preparation and Crystal Structure of the Carbides Ln <sub>12</sub> Re <sub>5</sub> C <sub>15</sub> (Ln = Y, La–Nd, Gd–Er)
H. WEBER, A. GRZESIOK, R. SUSTMANN, H.-G. KORTH	R. PÖTTGEN, G. BLOCK, W. JEITSCHKO, R. K. BEHRENS
1041	1081
A Novel Synthetic Approach to Asymmetric Salen, Dihydrosalen, and Tetrahydrosalen Ligands: Structures and O <sub>2</sub> -Activating Properties of their Nickel(II) and Cobalt(II) Complexes	Silaethenes XVI. Formation and Reactivity of the Silaethenes Me(Vi)Si=CHCH <sub>2</sub> 'Bu and Vi <sub>2</sub> Si=CHCH <sub>2</sub> 'Bu (In German)
A. BÖTTCHER, H. ELIAS, B. EISENMANN, E. HILMS, A. HUBER, R. KNIEP, C. RÖHR, M. ZEHNDER, M. NEUBURGER, J. SPRINGBORG	J. GROBE, H. ZIEMER
1089	1101
Preparation, <sup>11</sup> B, <sup>13</sup> C, <sup>1</sup> H NMR and Vibrational Spectra of 1,2-Trimethylenepentahydro-closohexaborate(1-), <i>cis</i> -[B <sub>6</sub> H <sub>5</sub> (CH <sub>2</sub> ) <sub>3</sub> ] <sup>-</sup> , and	

1,2-Tetramethylenepentahydro-closo-hexaborate(1-), <i>cis</i> -[B <sub>6</sub> H <sub>5</sub> (CH <sub>2</sub> ) <sub>4</sub> ] <sup>-</sup> , and the Crystal Structures of [P(C <sub>6</sub> H <sub>5</sub> ) <sub>4</sub> ][B <sub>6</sub> H <sub>5</sub> (CH <sub>2</sub> ) <sub>3</sub> ] and [P(C <sub>6</sub> H <sub>5</sub> ) <sub>4</sub> ][B <sub>6</sub> H <sub>5</sub> (CH <sub>2</sub> ) <sub>4</sub> ] (In German)	BaCeN <sub>2</sub> , a Bariumnitridocerate(IV) with a Structure of the <i>anti</i> -TiP Type (In German)
W. LÜBBE, A. FRANKEN, W. PREETZ 1115	O. SEEGER, J. STRÄHLE 1169
Alkali Metal Formates, VI. The Crystal Structure of Rubidium Hydrogen Diformate, RbH(HCO <sub>2</sub> ) <sub>2</sub> (In German)	Investigations on Phases in the System 2 Ha-TaS <sub>2</sub> -2 Hc-MoS <sub>2</sub> (In German)
K. MÜLLER, K.-J. RANGE, A. M. HEYN 1123	P. REMMERT, E. FISCHER, H.-U. HUMMEL 1175
Oxo and Non-oxovanadium(IV) Complexes with Oxy-Carboxylate Ligands, and the Structure of VCl <sub>2</sub> (salen) (In German)	Alkali Metal Formates, V. The Crystal Structure of Sodium Formate Dihydrate, NaHCO <sub>2</sub> ·2 H <sub>2</sub> O (In German)
V. VERGOPOULOS, S. JANTZEN, N. JULIEN, E. ROSE, D. REHDER 1127	K. MÜLLER, K.-J. RANGE, A. M. HEYN 1179
On a New Alkaline Copper Oxovanadate KCu <sub>5</sub> V <sub>3</sub> O <sub>13</sub> (In German)	Five-Coordinate Complexes
F.-D. MARTIN, HK. MÜLLER-BUSCHBAUM 1137	[tripodM-( <i>ortho</i> -(X)(Y)C <sub>6</sub> H <sub>4</sub> )] <sup>n</sup> (X, Y = O, S) with d <sup>5</sup> -, d <sup>6</sup> - and d <sup>7</sup> -Systems. Synthesis, Structure, Electrochemistry and ESR-Spectra (In German)
On KBa <sub>2</sub> V <sub>2</sub> O <sub>7</sub> Cl (In German)	V. KÖRNER, A. ASAM, G. HUTTNER, L. ZSOLNAI, M. BÜCHNER 1183
F.-D. MARTIN, HK. MÜLLER-BUSCHBAUM 1141	Metal Complexes with Biologically Important Ligands, LXXIII. Organometallic Compounds of Palladium(II), Platinum(II), Rhodium(III) and Iridium(III) with N-6-Deoxy-galactopyranosyl- $\alpha$ -amino Acids (In German)
Synthesis and Crystal Structure of Cu <sub>0.25</sub> Ho <sub>1.25</sub> W <sub>2</sub> O <sub>8</sub> (In German)	Y. ZHOU, B. WAGNER, K. POLBORN, K. SÜNKEL, W. BECK 1193
H. SZILLAT, H. MÜLLER-BUSCHBAUM 1145	Vibrational Spectra and Force Constants of the Linear Anions [M <sup>II</sup> P <sub>2</sub> ] <sup>4-</sup> and [M <sup>I</sup> X <sub>2</sub> ] <sup>5-</sup> (M <sup>II</sup> = Zn, Cd, Hg; M <sup>I</sup> = Cu, Ag; X = E 15) in Potassium Compounds and in Na <sub>4</sub> [HgP <sub>2</sub> ] (In German)
Ring-Opening of (-)-Camphorsulfonimide Derivatives and (+)-Fenchonesulfonimide by Nitronium Tetrafluoroborate	M. SOMER 1203
G. WAGNER, U. VERFÜRTH, R. HERRMANN, C. KRÜGER 1150	An Efficient Synthesis of Diarylallenylidene Pentacarbonyl Chromium and Tungsten Complexes – Crystal Structure of (CO) <sub>5</sub> Cr=C=C=CPh <sub>2</sub> (In German)
Contents of Number 9	H. FISCHER, D. REINDL, G. ROTH 1207
<i>Original Communications</i>	Synthesis and Structure of Tetraethylcyclotetraarsathiane and its Complexes [Ag{ <i>cyclo</i> -(C <sub>2</sub> H <sub>5</sub> AsS) <sub>4</sub> } <sub>2</sub> ]CF <sub>3</sub> SO <sub>3</sub> and [{ <i>cyclo</i> -(C <sub>2</sub> H <sub>5</sub> AsS) <sub>4</sub> }·2 SbBr <sub>3</sub> ]
A Second Polymorphic Form of Te <sub>4</sub> (WCl <sub>6</sub> ) <sub>2</sub> (In German)	TH. HÄUSLER, W. S. SHELDICK 1215
J. BECK 1159	Linear Oligophosphaalkanes, XXVII. Fragmentation and Cyclization of Dissecondary Methylenebisphosphanes with Bulky Aromatic Substituents in Fe <sub>3</sub> and Ru <sub>3</sub> Clusters (In German)
Crystal Structure and Vibrational Spectra of Zn(NH <sub>3</sub> ) <sub>4</sub> (ClO <sub>4</sub> ) <sub>2</sub> (In German)	
H. HILLEBRECHT, G. THIELE, A. KOPPENHÖFER, H. VAHRENKAMP 1163	

F. BITTERER, ST. KUCKEN, K. P. LANGHANS, O. STELZER, W. S. SHELDICK	1223	Haemophaein, a Dibenzofuran from the Lichen <i>Phyllopsora haemophaea</i> (In German)	
Structure and Magnetic Properties of a Dinuclear Complex with Iron(III) in Octahedral and Pyramidal Coordination		U. HIMMELREICH, S. HUNECK	1292
A. ELMALI, Y. ELERMAN, I. SVOBODA, H. FUESS, K. GRIESAR, W. HAASE	1239	Triacylglycerols, Fucosterol, Diacylglyceroglycolipids and Fucoxanthin from <i>Fucus virsoides</i> J. AG.	
The Crystal Structure of [Bis(tri-'butyl-phosphine)gold(I)] Chloride		G. FALSONE, F. CATENI, E. VRECH, L. BIRKOFER, V. LUCCHINI, H. WAGNER, O. SELIGMANN, L. COASSINI LOKAR	1297
E. ZELLER, A. SCHIER, H. SCHMIDBAUR	1243		
New Mono- and Spirobicyclic Aminosilanes: Synthesis, Structure and Properties (In German)			
TH. SCHLOSSER, A. SLADEK, W. HILLER, H. SCHMIDBAUR	1247	Asymmetric Catalysis, 88. Kinetics of the Rh Catalysed Hydrogenation of (Z)-(α)-N-Acetamido-cinnamic Acid with Optically Active Layer-Phosphines as Ligands (In German)	
Crystal Growth and X-Ray Structure of Metastable α-KCoPO <sub>4</sub>		H. BRUNNER, J. FÜRST, U. NAGEL, A. FISCHER	
M. LUJÁN, F. KUBEL, H. SCHMID	1256	1305	
Preparation of μ-Nitroso-bis(pentahydro-closo-hexaborate)(3-) and Crystal Structure of Cs <sub>3</sub> [B <sub>6</sub> H <sub>5</sub> (NO)B <sub>6</sub> H <sub>5</sub> ] (In German)			
A. FRANKEN, W. PREETZ	1263		
Preparation, <sup>11</sup> B, <sup>13</sup> C NMR and Vibrational Spectra of Aminomethylhexahydro-closo-hexaborate(1-), [B <sub>6</sub> H <sub>6</sub> (CH <sub>2</sub> NH <sub>2</sub> )] <sup>-</sup> , and Crystal Structures of Cs[B <sub>6</sub> H <sub>6</sub> (CH <sub>2</sub> NH <sub>2</sub> )] and K[B <sub>6</sub> H <sub>6</sub> (CH <sub>2</sub> NH <sub>2</sub> )] (In German)			
A. FRANKEN, W. PREETZ	1267		
Crystal Structure of MnSO <sub>3</sub> ·H <sub>2</sub> O, A Nearly Symmetrical Layer Structure (In German)			
B. ENGELEN	1272		
On a Barium Rare-Earth Oxomanganate(IV, V): Ba <sub>3</sub> ErMn <sub>2</sub> O <sub>9</sub> (In German)			
CH. RABBOW, Hk. MÜLLER-BUSCHBAUM	1277		
The Crystal Structure of TlZnPO <sub>4</sub> and TlZnAsO <sub>4</sub> (In German)			
M. ANDRATSCHKE, K.-J. RANGE, C. WEIGL, U. SCHIESSL, F. RAU	1282		
Squamarone, a Naphthoquinone from the Lichen <i>Squamaria cartilaginea</i> (In German)			
U. HIMMELREICH, S. HUNECK, G. B. FEIGE, H. T. LUMBSCH	1289		
		Contents of Number 10	
		<i>Original Communications</i>	
		Er <sub>2</sub> Au <sub>2</sub> Sn and other Ternary Rare Earth Metal Gold Stannides with Ordered Zr <sub>3</sub> Al <sub>2</sub> -Type Structure	
		R. PÖTTGEN	1309
		Bis(triorganotelluronium)hexasulfides (In German)	
		M. WIEBER, R. HABERSACK	1314
		Synthesis and Vibrational and Mass Spectra of Ph <sub>3</sub> SnO <sub>2</sub> PMe <sub>2</sub> , Ph <sub>3</sub> SnO <sub>2</sub> PMePh and Ph <sub>3</sub> SnO <sub>2</sub> PPh <sub>2</sub>	
		A.-F. SHIHADA	1319
		Metal Complexes of 6,6'-Dialkynyl-Substituted 2,2'-Bipyridine Ligands: Synthesis and Structure of [{6,6'-(CH <sub>3</sub> CH <sub>2</sub> CH <sub>2</sub> C≡C) <sub>2</sub> bpy}Cu(Cl)(μ-Cl)] <sub>2</sub> (In German)	
		E. KÖVÁRI, R. KRÄMER	1324
		Synthesis and Crystal Structure of NaMg <sub>1,64</sub> Cu <sub>0,36</sub> V <sub>3</sub> O <sub>10</sub> (In German)	
		F.-D. MARTIN, Hk. MÜLLER-BUSCHBAUM	1329

Neutron Diffraction Studies on $Mg(IO_3)_2 \cdot 4H_2O$ Single Crystals (In German)	Borylation of 1,1'-Dibromoferrocene and Alkyl-ferrocenes
H. MÖLLER, E. SUCHANEK, H. D. LUTZ, W. PAULUS 1334	B. WRACKMEYER, U. DÖRFLER, J. RINCK, M. HERBERHOLD 1403
Electron Transfer and Ion Pair Formation, 34. Single Crystal Structure of the Solvent-Separated Ion Pair [9,9'-Bianthryl <sup>⊕</sup> ][Na <sup>⊕</sup> (DME) <sub>3</sub> ] (In German)	Determination of Absolute Signs of <sup>119</sup> Sn- <sup>117</sup> Sn Spin-Spin Coupling Constants
H. BOCK, A. JOHN, CH. NÄTHER, Z. HAVLAS 1339	B. WRACKMEYER, G. KEHR 1407
Synthesis and Molecular Structure of Silylated Ethenes and Acetylenes	Synthesis and Structure of Diastereomeric Di-nuclear Copper Complexes (In German)
CH. RÜDINGER, H. BERUDA, H. SCHMIDBAUR 1348	R. W. SAALFRANK, O. STRUCK, K. PETERS, H. G. V. SCHNERING 1410
Synthesis and Structures of 2,2,4,4-Tetrafluoro-1,3-diphosphetanes and of -1,3-diphosphetane Disulfides (In German)	Synthesis, Reactivity and Structure of Cobalt Semicorrinate Complexes (In German)
M. FILD, P. G. JONES, K. RUHNAU, C. THÖNE 1361	R. W. SAALFRANK, O. STRUCK, K. PETERS, H. G. V. SCHNERING 1415
A New Carbonate with Baylissite Structure: $Rb_2[Mg(CO_3)_2(H_2O)_4]$ (In German)	Factors Influencing the Acid Lability of Substituted Arylsulphonyl Arginine Protecting Groups
Y. Q. ZHENG, A. ADAM 1368	S. S. ALI, H. ECHNER, K. M. KHAN, CH. SCHRÖDER, M. HASAN, ATTA-UR-RAHMAN, W. VOELTER 1425
Concerning the Crystal Structures of the Cyano-Elpasolites $[N(CH_3)_4]_2CsCo(CN)_6$ and $[H_3NCH_3]_2NaFe(CN)_6$ (In German)	A Novel Entry into Cyclopropanated Sugar Amino Acids
ST. PESCHEL, D. BABEL 1373	FAKHAR-UZ-ZAMAN, A. FATIMA, A. MALIK, W. VOELTER 1434
Synthesis, Crystal Structure, and Properties of Tetraaminophosphonium Iodide $[P(NH_2)_4]I$ (In German)	<i>Notes</i>
ST. HORSTMANN, W. SCHNICK 1381	$Ho_4C_7, Y_4C_7$ : Carbides with $C_3^{4-}$ and $C_4^{4-}$ Ions (In German)
Intercalation of Pyridine into Ternary Transition Metal Disulfides $Ta_{1-x}Mo_xS_2$ (In German)	H. MATTIAUSCH, TH. GULDEN, R. K. KREMER, J. HORAKH, A. SIMON 1439
P. REMMERT, H.-U. HUMMEL 1387	The Crystal Structure of the Lithium Phenylamidinate $\{Li_3[C_6H_5-C(NSiMe_3)_2]_3\cdot NC-C_6H_5\}$ (In German)
Diyne Complexes of Tungsten(VI). The Crystal Structure of $[(Et_2S)WCl_4(Me_3Si-C\equiv C-(CH_2)_4-C\equiv C-SiMe_3)WCl_4(SEt_2)]$ (In German)	T. GEBAUER, K. DEHNICKE, H. GOESMANN, D. FENSKE 1444
P. DIERKES, K. DEHNICKE 1391	Crystal Structures of Magnesium Dibromide Diglyme Adducts (In German)
Structural Characterization of Dihydroselenapyrans Prepared by the Reaction of Diarylselenoketones with Conjugated Dienes	N. METZLER, H. NÖTH, M. SCHMIDT, A. TREITL 1448
R. FRÖHLICH, M. GREHL, ST. WILKER, G. ERKER, P. MAZEROLLES, CH. LAURENT 1397	

## Contents of Number 11

## Original Communications

Hydroboration Products of Carbodiimides with (9 H-9-BBN) <sub>2</sub> (In German)		Water-Soluble Phosphanes, III. Water-Soluble Primary Phosphanes with Ammonium Groups NR <sub>2</sub> R' in the Side Chain – Donor-Functionalized Amphiphiles (In German)
R. BOESE, R. KÖSTER, M. YALPANI	1453	D. J. BRAUER, J. FISCHER, ST. KUCKEN, K. P. LANGHANS, O. STELZER, N. WEFERLING 1511
On K <sub>4</sub> CuV <sub>5</sub> O <sub>15</sub> Cl (In German)		Ternary Rare Earth Metal Gold Stannides and Indides with Ordered U <sub>3</sub> Si <sub>2</sub> and Zr <sub>3</sub> Al <sub>2</sub> -Type Structure
F.-D. MARTIN, HK. MÜLLER-BUSCHBAUM	1459	R. PÖTTGEN 1525
On the Crystal Chemistry of Compounds with Johillerite Structure: KCo <sub>3</sub> Cu(As <sub>2.58</sub> V <sub>0.42</sub> )O <sub>12</sub> (In German)		Heterometallic Compounds. Preparation and Structures of Some Co(III) Complexes with CrO <sub>4</sub> <sup>2-</sup> Ligands (In German)
D. FRERICHS, HK. MÜLLER-BUSCHBAUM	1463	R. C. BRÜGGEDE, U. THEWALT 1531
The Structure of Dihydroxonium Alkanedisulfonates (In German)		The Structure and Catalytic Properties of Coordination Polyhedra of 3 d-Metals in Metaphosphate Melts
P. SARTORI, R. JÜSCHKE, R. BOESE, D. BLÄSER	1467	S. V. VOLKOV, V. A. BANDUR, N. I. BURYAK 1539
On the Reaction of Carbene Adducts of Carbon Disulfide with Bromine and Iodine (In German)		The Preparation of Some Mono- and Bis-(thiolate)-2-butyne Complexes of Tungsten(II) of the Types [WI(SR)(CO)(dppm)(η <sup>2</sup> -MeC <sub>2</sub> Me)] {dppm = Ph <sub>2</sub> P(CH <sub>2</sub> )PPh <sub>2</sub> ; R = Et, Bu', Ph or CH <sub>2</sub> Ph} and [W(SR) <sub>2</sub> (CO)(dppm)(η <sup>2</sup> -MeC <sub>2</sub> Me)]
N. KUHN, H. BOHNEN, G. HENKEL	1473	P. K. BAKER, K. R. FLOWER 1544
Synthesis and X-Ray Crystal Structures of Some Transition-Metal Complexes Involving Ligands with the 4,5-Benzo-3-methyl-1,3,2-oxazaphosphorinan-6-one Framework (In German)		On the Reaction of Sodium Tetracarbonylcobaltate with Aluminiumtrichlorid. Molecular Structure of Co <sub>4</sub> (CO) <sub>13</sub> Al(THF) <sub>3</sub> Co <sub>3</sub> (CO) <sub>10</sub> (In German)
A. FISCHER, I. NEDA, P. G. JONES, R. SCHMUTZLER	1481	J. J. SCHNEIDER, U. DENNINGER, C. KRÜGER 1549
Insertion of Isocyanides into the Palladium-Carbon Bond of Cyclopalladated Complexes		Organometallic Rhodium(III) and -(I) Complexes with 1,3-Dimethylillumazine(DML). The Crystal Structure of [(η <sup>2</sup> -(O <sup>4</sup> ,N <sup>5</sup> )DML)(η <sup>5</sup> -C <sub>5</sub> Me <sub>5</sub> )ClRh](PF <sub>6</sub> )
A. ZOGRAFIDIS, K. POLBORN, W. BECK, B. A. MARKIES, G. v. KOTEN	1494	O. HEILMANN, H.-D. HAUSEN, W. KAIM 1554
Crystal Structure and Hydrothermal Synthesis of the Layered Compound Be <sub>2</sub> (PO <sub>4</sub> )(OH)·2 H <sub>2</sub> O (In German)		On the Chemistry of Lichens from Turkey. Structure of Nemetzon, the Pigment of the Apothecia from <i>Haematomma nemetzii</i> (In German)
CH. ROBL, V. GÖBNER	1499	S. HUNECK, U. HIMMELREICH, J. SCHMIDT, V. JOHN, U. ZEYBEK 1561
A New Access to Ionic Thionylimides. Single Crystal Structure of N(CH <sub>3</sub> ) <sub>4</sub> NSO (In German)		Electrosynthesis of 2-Alkyl-4(3H)-quinazolinones
S. MANN, M. JANSEN	1503	E. ESTRADA, A. RIEKER 1566
The Redox Behaviour of Elemental Mercury and Diorganyl Disulphides (In German)		
I. STEINFATT, G. G. HOFFMANN	1507	

Metal Complexes with Biologically Important Ligands, LXIV. Organometallic Compounds of 2-(3-Thienyl)glycine and Derivatives thereof (In German)		Synthesis of 1-Tungsta-2-phospha-3-cyclobuten-4-ol Complexes by Hydrochlorination of $\eta^3$ -Phosphinoketene Complexes (In German)
E. SCHUHMANN, CH. ROBL, W. BECK	1569	J. OSTERMEIER, M. HECKEL, W. HILLER, F. R. KREISSEL
Synthesis of Cross-Linked Polyamines		$\pi$ -Olefin Iridium Complexes, XXII. C–H Activation of Aromatic and Aliphatic Solvent Molecules RH in the Reaction of $[Cp^*IrCl_2]$ with Butadienemagnesium with Formation of $[Cp^*Ir(\eta^3\text{-}C_4H_7)R]$ , and Crystal Structure of $[Cp^*Ir(\eta^3\text{-}C_4H_7)C_6H_5]$ (In German)
G. SOSNOVSKY, J. LUKSZO	1580	J. MÜLLER, P. ESCARPA GAEDE, K. QIAO
N- <i>tert</i> -Butylglyoxylamide, the New Reagent for Peptide Segment Coupling by Four-Component Reaction (In German)		Synthesis and Crystal Structure of Triphenyltelluroniumsulfide (In German)
ST. KÖNIG, R. KLÖSEL, R. KARL, I. UGI	1586	M. WIEBER, ST. LANG, ST. ROHSE, R. HABERSACK, CH. BURSCHKA
		1645
		1654

## Contents of Number 12

### Original Communications

Preparation of CuGaSe <sub>2</sub> Thin Film Solar Cells Comprising an Electrochemical Gallium Deposition Step		The Preparation of Sterically Demanding Phosphinoesters and their Use for the Synthesis of Rhodium(I) and Rhodium(III) Complexes (In German)
M. MEHLIN, J. RIMMASCH, H. P. FRITZ	1597	W. WOLFSBERGER, W. BURKART, S. BAUER, A. HAMPP, J. WOLF, H. WERNER
Facile Photochemical Synthesis of Benzylphosphines (In German)		Synthesis of Benzo-Bridged, Five-Membered ES <sub>2</sub> C <sub>2</sub> Heterocycles with ECl Moieties (E = P, As, Sb, Bi) Starting from 1,2,4,5-Tetramercaptobenzene (In German)
G. MÜLLER, M. WALDKIRCHER, M. WINKLER	1606	H. KÖPF, H. BALZ
(Se,O)-Coordinated Complexes of Subvalent Main Group Metals: The Crystal Structure of Bis(N,N-diethyl-N'-benzoylselenoureato)lead(II) (In German)		Synthesis and Rearrangement of 2,3,5,6-Tetrakis(isopropylidene)- and 2,3-Bis(isopropylidene)-1,4-diboracyclohexane Derivatives (In German)
M. SCHUSTER, W. BENNSCH	1615	J. HAUSS, A. KRÄMER, H. PRITZKOW, W. SIEBERT
[Mn(SPh)Cl <sub>3</sub> ] <sup>2-</sup> , [Mn(SPh) <sub>3</sub> Cl] <sup>2-</sup> , [Mn <sub>2</sub> (SPh) <sub>6</sub> ] <sup>2-</sup> and [Mn <sub>4</sub> (SPh) <sub>6</sub> Br <sub>4</sub> ] <sup>2-</sup> : Synthesis, Structure and Selected Properties of Some New Chalcogenolate Complexes of Divalent Manganese (In German)		1677
H.-O. STEPHAN, K. GRIESAR, W. HAASE, G. HENKEL	1620	Radical Reactions of 6,6-Dimethylfulvene at Paramagnetic Cobalt(0) Centers – Structure of a Di-cobalt Complex Containing a Tetrameric Hydrocarbon Ligand (In German)
Chiral Thioaldehyde Complexes of Rhenium, X-Ray Structure Determination of [Cp(NO)(Ph <sub>3</sub> P)Re( $\eta^2$ -S=CHPh)]PF <sub>6</sub>		H.-F. KLEIN, E. AUER, TH. JUNG, C. RÖHR, R. KNIEP
W. A. SCHENK, N. BURZLAFF, H. BURZLAFF	1633	1684
		Eightfold Functionalization of the Octasilesquioxane Core
		P. JUTZI, C. BATZ, A. MUTLUAY
		1689
		Transition Metal Substituted Acylphosphphanes and Phosphaalkenes, XXIV. Dipolar [3+2]- and

[2+2]-Cycloadditions of Carbonyl Activated Alkynes to ( $\eta^5\text{-C}_5\text{Me}_5$ )(CO) <sub>2</sub> Fe-P=C(NMe <sub>2</sub> ) <sub>2</sub> . Synthesis and Structure of the 1-Phosphorus-1,3-butadiene ( $\eta^5\text{-C}_5\text{Me}_5$ )(CO) <sub>2</sub> Fe-P=C(E)-C(E)=C(NMe <sub>2</sub> ) <sub>2</sub> (E = CO <sub>2</sub> Me) (In German)	R. HAGER, J. WEIS	1774
L. WEBER, O. KAMINSKI, H.-G. STAMMLER, B. NEUMANN, R. BOESE		1693
Hindered Ligand Movements in Transition Metal Complexes, XLIV. Photoreactions of Hexa-carbonyl- $\mu$ - $\eta^{5:5}$ -fulvalene-dimolybdenum with Allene (In German)	C. G. KREITER, W. CONRAD	1707
1,2,3,4,5-Penta(4-alkylphen-1-yl)-1,3-cyclopentadienes and their Sodium-, Indium(I)- and Thallium(I) Complexes (In German)	H. SCHUMANN, A. LENTZ	1717
Zinc Complexes of Sulfonamides (In German)	U. HARTMANN, H. VAHRENKAMP	1725
The Pd-Catalyzed Oxidative Coupling Reaction of Methyl Methylbenzoates (In German)	A. SHIOTANI	1731
Oxidation of Disilenes: Experimental and Theoretical Studies	K. L. MCKILLOP, R. WEST, T. CLARK, H. HOFMANN	1737
Silaheterocycles, XXXI. Allyl Cleavage of 2-Sila-norbornenes: A Facile Synthesis of Cyclopentenyl-Compounds of Organochlorosilanes and of 2-Silanorbornanes (In German)	N. AUNER, H.-U. STEINBERGER	1743
Contributions to the Chemistry of Phosphorus, 232. Partially Organyl Substituted Polycyclophosphphanes (In German)	M. BAUDLER, H. JACHOW	1755
Chemistry of Polyfunctional Molecules, 114. Synthesis and Structure of an Ionic and Non Ionic Cyclic Carbaphosphazene and of a Cobalt(III)-phosphazene Complex (In German)	J. ELLERMANN, J. SUTTER, F. A. KNOCH, M. MOLL, W. BAUER	1763
Phosphazene Catalysis. The Basis of Linear Technology for Silicone Production (In German)		
M. HERBERHOLD, V. TRÖBS, W. MILIUS, B. WRACKMEYER		1781
Lanthanoid Complexes, IX. Reactivity Control of Lanthanoid Amides through Ligand Effects: Synthesis and Structures of Sterically Congested Alkoxy Complexes (In German)	W. A. HERRMANN, R. ANWANDER, F. C. MUNCK, W. SCHERER, V. DUFAUD, N. W. HUBER, G. R. J. ARTUS	1789
Silyl and Phosphino Substituted Methanes: Synthetic and Structural Investigations of the Reactivity of Ambidentate Phosphinomethanides (In German)	H. H. KARSCH, R. RICHTER, B. DEUBELLY, A. SCHIER, M. PAUL, M. HECKEL, K. ANGERMEIER, W. HILLER	1798
The Crystal Structure of Tetraphenylphosphonium Monoiodohexahydro- <i>clos</i> -hexaborate [P(C <sub>6</sub> H <sub>5</sub> ) <sub>4</sub> ][B <sub>6</sub> H <sub>6</sub> I] (In German)	W. PREETZ, D. SONNAK	1809
Electrophilic Activation of OH Groups in Organophosphorus Compounds – An Application of Phosphane Boranes (In German)	TH. SEITZ, G. HÜTTNER, M. BÜCHNER	1813
Radical-Initiated Hydrosilylation-Cyclization Reactions of Bis(vinyldimethylsilyl) Compounds, CH <sub>2</sub> =CH(CH <sub>3</sub> ) <sub>2</sub> SiXSi(CH <sub>3</sub> ) <sub>2</sub> CH=CH <sub>2</sub> (X = O, CH <sub>2</sub> , NH, NCH <sub>3</sub> , NSi(CH <sub>3</sub> ) <sub>3</sub> )	D. SEYFERTH, H. FRIEDRICH, S. W. KRaska	1818
Subject Index		1827
Authors Index		1859

# Synthese, Kristallstruktur und Eigenschaften von Tetraaminophosphoniumiodid [P(NH<sub>2</sub>)<sub>4</sub>]I

Synthesis, Crystal Structure, and Properties of Tetraaminophosphonium Iodide  
[P(NH<sub>2</sub>)<sub>4</sub>]I

Stefan Horstmann, Wolfgang Schnick\*

Laboratorium für Anorganische Chemie, Universität Bayreuth, D-95440 Bayreuth

Z. Naturforsch. **49b**, 1381–1386 (1994); eingegangen am 5. Mai 1994

Tetraaminophosphonium Salt, Synthesis, Crystal Structure, Hydrogen Bonding,  
Condensation Reactions

The title compound has been prepared starting from phosphorothionic triamide SP(NH<sub>2</sub>)<sub>3</sub> by methylation of the sulfur atom and subsequent ammonolysis reaction in dry acetonitrile and dichloromethane, respectively, both at room temperature. Suitable single crystals are obtained from an acetonitrile solution in a temperature gradient between 70 °C and room temperature. The crystal structure of [P(NH<sub>2</sub>)<sub>4</sub>]I has been determined by single crystal X-ray methods ( $P4/nbm$ ;  $a = 842.6(2)$ ,  $c = 486.7(2)$  pm,  $Z = 2$ ). In the solid [P(NH<sub>2</sub>)<sub>4</sub>]<sup>+</sup>- and I<sup>-</sup>-ions are found with significant N–H···I-hydrogen bonding interactions between anions and cations ( $H \cdots I$ : 276.4 pm). The P–N-bond length in the cation (160.7(2) pm) represents the shortest P–NH<sub>2</sub> bond distance reported to date indicating a significant electrostatic strengthening. The condensation behaviour of [P(NH<sub>2</sub>)<sub>4</sub>]I in solution and in the solid has been investigated.

## Einleitung

Systematische, präparative Untersuchungen führten in jüngster Zeit zur Erschließung der Substanzklasse der Phosphor(V)-nitride [1]. Ausgehend von binärem P<sub>3</sub>N<sub>5</sub> wurde eine ganze Reihe ternärer und höherer Phosphornitride synthetisiert und strukturell charakterisiert. Typisch für die in diesen Verbindungen auftretenden kovalenten P–N-Teilstrukturen ist das Vorliegen von PN<sub>4</sub>-Tetraedern, die auf ganz unterschiedliche Weise über gemeinsame Ecken miteinander verknüpft sein können: So wurden in ionisch aufgebautem Li<sub>7</sub>PN<sub>4</sub> „isolierte“ PN<sub>4</sub><sup>7-</sup>-Ionen gefunden. Komplexere Anionen enthalten Li<sub>12</sub>P<sub>3</sub>N<sub>9</sub>, in dem Cyclotrisilicat-analoge [P<sub>3</sub>N<sub>9</sub>]<sup>12-</sup>-Ringe vorliegen, und Li<sub>10</sub>P<sub>4</sub>N<sub>10</sub>, das aus zu molekularem Phosphorpentoxid isosteren [P<sub>4</sub>N<sub>10</sub>]<sup>10-</sup>-Ionen aufgebaut ist. In dem phosphorreichen Lithiumphosphornitrid LiPN<sub>2</sub> wird eine dreidimensionale Raumnetzstruktur  $\beta$ -[PN<sub>4/2</sub>]<sup>3-</sup> ausgebildet, die äquivalent zur  $\beta$ -Cristobalit-Struktur ist. Ein zu den Kettensilikaten analoger Aufbau wird in Ca<sub>2</sub>PN<sub>3</sub> verwirklicht. Auch Zeolith-analoge Gerüststrukturen wurden bei

den Phosphornitriden erhalten: In den Verbindungen M<sub>7-x</sub>H<sub>2x</sub>[P<sub>12</sub>N<sub>24</sub>]Z<sub>2-y</sub> bauen Phosphor und Stickstoff eine Sodalith-analoge Anordnung aus allseitig eckenverknüpften PN<sub>4</sub>-Tetraedern auf. Durch den Einbau unterschiedlicher Metalle (z.B. M = Mn, Fe, Co, Ni, Zn, Mg) sowie verschiedener Halogene (Z = F, Cl, Br, I) ergibt sich eine große Variationsbreite bezüglich Zusammensetzung und Eigenschaften dieser Verbindungen [1–3].

Die Synthese der bislang erwähnten Verbindungen geschieht über Festkörperreaktionen und Hochtemperatur-Umsetzungen. Zur Synthese definierter P–N-Festkörperverbindungen aus Lösungen sind jedoch lösliche Edukte wünschenswert, die „isolierte“ PN<sub>4</sub>-Baueinheiten enthalten. PN<sub>4</sub><sup>7-</sup>-Ionen kommen aufgrund der extrem hohen Formalladung hierfür kaum in Frage, da bislang keinerlei Hinweise auf die Existenz dieser Ionen in Lösung gefunden wurden. Auf der Suche nach geeigneten Ausgangsverbindungen zur Synthese definierter P–N-Festkörperstrukturen aus Lösung stießen wir jedoch auf die dem Salz Li<sub>7</sub>PN<sub>4</sub> korrespondierende hypothetische Säure H<sub>7</sub>PN<sub>4</sub>, die als instabile Monophosphaz-Zwischenstufe bei der Ammonolyse von PCl<sub>5</sub> vermutet wird [4]. Die Imidonitridoorthophosphorsäure H<sub>7</sub>PN<sub>4</sub> konnte jedoch aufgrund ihrer hohen Basizität sowie Neigung zu Kondensations-

\* Sonderdruckanforderungen an Prof. Dr. W. Schnick,

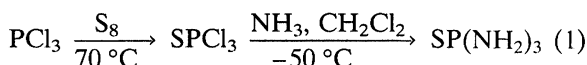
reaktionen bislang nicht in reiner Form erhalten werden.

Vor längerer Zeit beschrieben Schmidpeter *et al.* Versuche zur Darstellung von  $P(NH_2)_4I$ , das als Hydroiodid von  $H_7PN_4$  angesehen werden kann. Die Annahme der Existenz eines Tetraaminophosphonium-Salzes beruhte zunächst vor allem auf NMR-spektroskopischen Untersuchungen wässriger Lösungen [5]. In unseren Vorversuchen wurde aber deutlich, daß Tetraaminophosphoniumiodid in wässriger Lösung rasch Hydrolyse erleidet. Kürzlich gelang uns jedoch die Synthese und der strukturelle Nachweis des ersten Tetraaminophosphonium-Salzes anhand einer Einkristall-Röntgenstrukturanalyse [6]. Wir berichten in dieser Arbeit über die Synthese, Strukturaufklärung sowie die Eigenschaften von Tetraaminophosphoniumiodid  $[P(NH_2)_4]I$ .

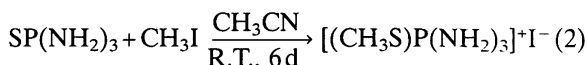
## Experimentelles

### Synthese von Tetraaminophosphoniumiodid

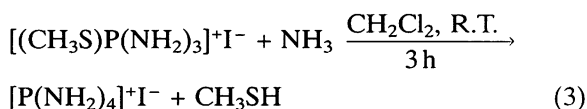
Die Synthese von Tetraaminophosphoniumiodid (**1**) [7] erfolgt ausgehend von  $SP(NH_2)_3$ , das gemäß Gl. (1) aus  $PCl_3$  erhalten wird [8].



Aktivierung der Schwefelfunktion in einer heterogenen fest-flüssig Reaktion (Gl. (2)) durch Methylierung mit Methyliodid liefert Methylthiotriaminophosphoniumiodid **2**.



Durch Ammonolyse einer Aufschlämmung von **2** in  $CH_2Cl_2$  bildet sich feinkristallines Tetraaminophosphoniumiodid **1** unter Abspaltung von Methylmercaptan (Gl. (3)).



Alle Arbeiten wurden unter getrocknetem Argon durchgeführt, die eingesetzten Lösungsmittel wurden nach Standardmethoden [9] getrocknet.

### Methylthiotriaminophosphoniumiodid (**2**)

5,55 g  $SP(NH_2)_3$  (50 mmol), suspendiert in 35 ml trockenem Acetonitril, werden mit 5 ml Methyliodid (80 mmol) versetzt und unter Argon-Atmosphäre bei Raumtemperatur gerührt. Nach sieben

Tagen wird der weiße Niederschlag abfiltriert, viermal mit 15 ml Diethylether gewaschen und getrocknet. Ausbeute: 10,63 g  $[(CH_3S)P(NH_2)_3]I$  (42 mmol, 84% bezogen auf eingesetztes Thiophosphorsäuretriamid). Die weiße, feinkristalline Substanz schmilzt bei 157 °C unter Zersetzung und entwickelt an der Luft Methylmercaptan.  $^{31}P$ -NMR-Spektrum (36,9 MHz, 25 °C, DMF):  $\delta = 48,1$  (s).

### Tetraaminophosphoniumiodid (**1**)

4,82 g  $[(CH_3S)P(NH_2)_3]I$  (0,02 mol) werden in 100 ml Dichlormethan suspendiert. Unter kräftigem Rühren wird über drei Stunden ein starker Strom von getrocknetem  $NH_3$  eingeleitet. Anschließend lässt man Argon durch die Lösung strömen (1 h), um das Methylmercaptan aus der Reaktionsmischung zu vertreiben. Der entstandene weiße, feinkristalline Feststoff wird abfiltriert und viermal mit 20 ml Diethylether gewaschen. Nach dem Trocknen bleiben 4,26 g  $[P(NH_2)_4]I$  (19,2 mmol; 96%).

Tetraaminophosphoniumiodid **1** zersetzt sich oberhalb 150 °C ohne zu schmelzen, im Vakuum findet Kondensation unter Abspaltung von Ammoniumiodid statt.  $^{31}P$ -NMR-Spektrum (121,496 MHz, 25 °C,  $D_2O$ ):  $\delta = 30,6$  (s);  $^{31}P$ -MAS-NMR:  $\delta = 14,2$  (isotrope chemische Verschiebung).

Verbindung **1** ist in den meisten aprotischen Solvenzien unlöslich, reagiert jedoch mit protischen Lösungsmitteln sowie Wasser unter Zersetzung. Die Zucht von Einkristallen von **1** gelang aus trockenem Acetonitril im Temperaturgradienten zwischen 70 °C und R.T. im Zeitraum von 14 Tagen.

### IR-spektroskopische Untersuchung

Das IR-Spektrum (Abb. 1) von **1** wurde auf einem Fourier-Transform-IR-Spektrometer IFS 66 v (Fa. Bruker, Karlsruhe) unter Verwendung von

Tab. I. Zuordnung der Banden im IR-Spektrum von  $[P(NH_2)_4]I$  (KBr-Preßling).

Beobachtete Frequenz [ $\text{cm}^{-1}$ ]	Zuordnung
3378 vs	$\nu_{as}(NH)$
3279 vs	$\nu_s(NH)$
3097 w	$2\delta(PNH)$
1557, 1546 s	$\delta(PNH)$
1078 s	$\nu_{as}(NPN)$
947 s	$\nu_s(NPN)$
536 w	$\delta(NPN)$

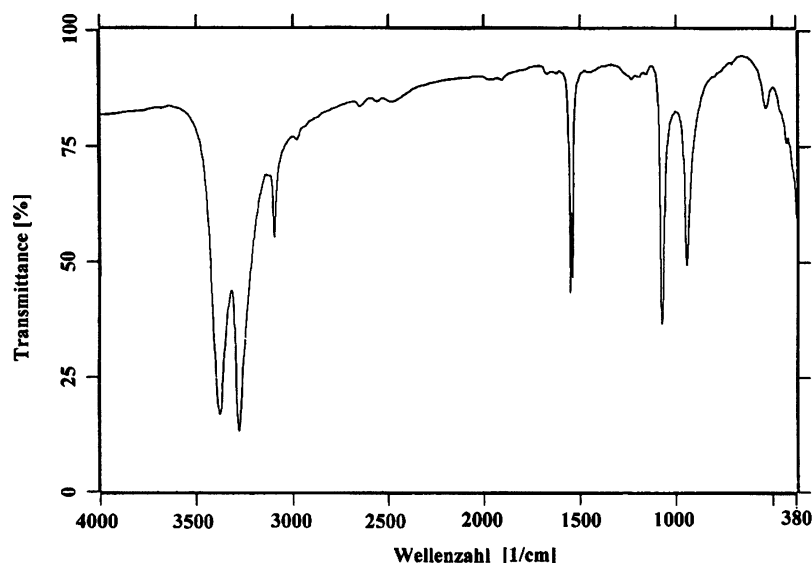


Abb. 1. IR-Spektrum von Tetraaminophosphoniumiodid **1** (KBr-Preßling).

KBr-Preßlingen (1 mg Substanz/500 mg KBr, präpariert in einer Glove-Box unter Argon-Schutzgasatmosphäre) aufgenommen. Die Lage der Banden und ihre Zuordnung ist in Tab. I angegeben. Im Bereich zwischen 380 und 4000 cm<sup>-1</sup> werden acht Schwingungen beobachtet. Die Banden oberhalb von 3200 cm<sup>-1</sup> sind N-H-Valenzschwingungen zuzuordnen. Das Auftreten der symmetrischen und der asymmetrischen P-N-Valenzschwingungen lässt eine Symmetrierniedrigung des PN<sub>4</sub><sup>+</sup>-Tetraeders erkennen. Dies wird durch die Strukturanalyse belegt, das Kation besitzt demnach die kristallographische Punktsymmetrie D<sub>2d</sub>.

#### Kristallstrukturbestimmung von Tetraamino-phosphoniumiodid

Auf einem Siemens P4-Diffraktometer wurde ein Einkristall der Größe 0,24×0,20×0,20 mm<sup>3</sup> vermessen (Tab. II). Es wurden 1260 Reflexe gemessen, aus denen nach Mittelung in der Laue-Klasse 4/mmm 282 symmetrieeunabhängige Reflexe mit einer Intensität F<sub>o</sub> ≥ σ(F<sub>o</sub>) erhalten wurden ( $R_{\text{int}} = 0,007$ ). Die Raumgruppe P4/nbm (Nr. 125) ergab sich eindeutig aus den Auslösungsbedingungen.

Die Lagen der Iod-, Phosphor- und Stickstoffatome konnten durch Direkte Methoden mit Hilfe des Programmpaketes SHELXTL-PLUS [10] bestimmt werden. Nach Verfeinerung der Atomkoordinaten konnten aus der Differenz-Fourier-Synthese auch die Wasserstoffatome eindeutig lokalisiert werden. Die endgültige Verfeinerung unter Verwendung anisotroper Temperaturfaktoren

für Phosphor, Stickstoff und Iod ergab  $R = 0,0223$  bzw.  $wR = 0,0134$  mit  $w^{-1} = \sigma^2(F_o)$ . Die verfeinerten Atomparameter sind in Tab. III enthalten, interatomare Abstände und Winkel werden in Tab. IV aufgeführt.

Die ermittelten Atomlagen stellen lokale Maxima der Elektronendichtefunktion dar. Für leichte Atome, besonders Wasserstoff, müssen diese Atompositionen nicht exakt mit den tat-

Tab. II. Parameter der Kristallstrukturbestimmung von **1**.

Formel	[P(NH <sub>2</sub> ) <sub>4</sub> ]I
Molmasse [g/mol]	221,9
Kristallsystem	tetragonal
Raumgruppe	P4/nbm (Nr. 125)
Gitterkonstanten [pm]	$a = 842,6(2)$ $c = 486,7(2)$
Zellvolumen [10 <sup>6</sup> pm <sup>3</sup> ]	345,5(2)
Formeleinheiten/Zelle	$Z = 2$
Röntgenogr. Dichte [g/cm <sup>3</sup> ]	2,133
Strahlung	Mo-K <sub>α</sub> (Graphit-Monochromator)
Absorptionskoeffizient [mm <sup>-1</sup> ]	4,76
Meßtemperatur [K]	173
Meßbereich	$4^\circ \leq 2\theta \leq 60^\circ$ , $\omega - 2\theta$ -Scan
Gemessene Reflexe	1260
Symmetrieeunabhängige Reflexe	282 ( $R_{\text{int}} = 0,007$ )
Beobachtete Reflexe	282 ( $F_o > 0,0\sigma(F_o)$ )
Korrekturen	Lorentz, Polarisation
Verfeinerte Parameter	16
$R$ -Werte	$R = 0,0223$ $wR = 0,0134$ $w^{-1} = \sigma^2(F_o)$

Tab. III. Verfeinerte Ortsparameter und isotrope äquivalente Temperaturparameter  $U_{\text{eq}}$  der Atome in  $[\text{P}(\text{NH}_2)_4]\text{I}$ .  $U_{\text{eq}} = 1/3 (\text{U}_{11} + \text{U}_{22} + \text{U}_{33})$ . U ist in Einheiten von  $[\text{pm}^2]$  angegeben (Standardabweichungen in Klammern).

Atom	Wyckoff-Symbol	$x/a$	$y/b$	$z/c$	$U_{\text{eq}}$
I	2a	1/4	1/4	0	234(1)
P	2d	3/4	1/4	1/2	188(2)
N	8m	0,1308(2)	-0,3692(2)	0,3455(5)	296(4)
H	16n	0,339(3)	-0,055(3)	0,283(4)	370(60)

Tab. IV. Abstände [pm] und Winkel [ $^\circ$ ] in Tetraaminophosphoniumiodid (Standardabweichungen in Klammern).

P–N	160,7(2)
N–H	100 <sup>a</sup>
H···I	276,4 <sup>a</sup>
N <sub>1</sub> –P–N <sub>3</sub>	124,2(2)
N <sub>1</sub> –P–N <sub>2</sub>	102,7(1)
N <sub>2</sub> –P–N <sub>3</sub>	102,7(1)
N <sub>1</sub> –P–N <sub>4</sub>	102,7(1)
N <sub>3</sub> –P–N <sub>4</sub>	102,7(1)
N <sub>2</sub> –P–N <sub>4</sub>	124,2(2)
P–N–H	120(2)
H–N–H	114(4)
N–H···I	173,3 <sup>a</sup>

<sup>a</sup> Werte berechnet unter Annahme eines N–H-Abstandes von 100 pm und Beibehaltung der ermittelten N–H-Konformationen.

sächlichen Atompositionen übereinstimmen. Aus diesem Sachverhalt erklären sich die offensichtlich zu kurzen, verfeinerten N–H-Abstände (74,9(26) pm), für die ein Wert von etwa 100 pm erwartet werden kann [11]. Aus diesem Grund wurden idealisierte Wasserstoffpositionen (N–H-Bindungslängen: 100 pm) unter Beibehaltung der ermittelten N–H-Konformationen der Strukturdiskussion zugrunde gelegt.

## Strukturbeschreibung und Diskussion

Tetraaminophosphoniumiodid **1** ist im Festkörper ionisch aufgebaut. Die komplexen Kationen (Abb. 2) und die Iodid-Ionen bilden eine CsCl-analoge Packung (Abb. 3). Da die  $[\text{P}(\text{NH}_2)_4]^+$ -Ionen in zwei Orientierungen vorliegen, tritt gegenüber dem Aristotyp eine Verdoppelung der Elementarzelle gemäß einer Transformationsmatrix ( $110; -110; 001$ ) auf. Ausgehend vom Rauminkrement des Iodid-Ions nach Biltz ( $56,4 \cdot 10^6 \text{ pm}^3$  [12]) ergibt sich ein Verhältnis der Anionen- und

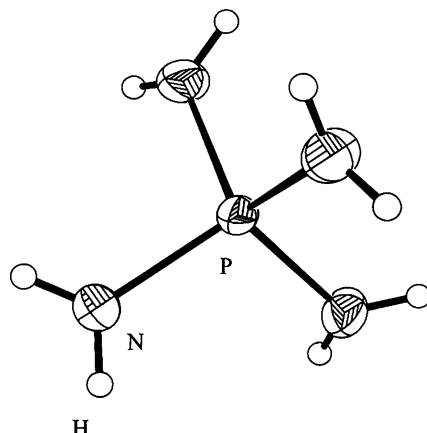


Abb. 2. Struktur des Tetraaminophosphonium-Ions in **1**. Schwingungsellipsoide mit 50% Aufenthaltswahrscheinlichkeit.

Kationen-Radien von  $\varepsilon = 0,79$ . Dieser Wert liegt nach Parthé im Existenzbereich des CsCl-Typs [13].

Charakteristisch für die Kristallstruktur von Tetraaminophosphoniumiodid ist das Vorliegen signifikanter N–H···I-Wasserstoffbrückenbindungen mit nahezu linearen N–H···I-Kontakten ( $173,3^\circ$ ). Die N–H-Bindungen zeigen fast direkt auf die jeweils benachbarten I<sup>-</sup>-Ionen (Abb. 4). Die H···I-Abstände unterschreiten mit 276,4 pm deutlich die Summe der entsprechenden Van-der-Waals-Radien (318 pm [14]).

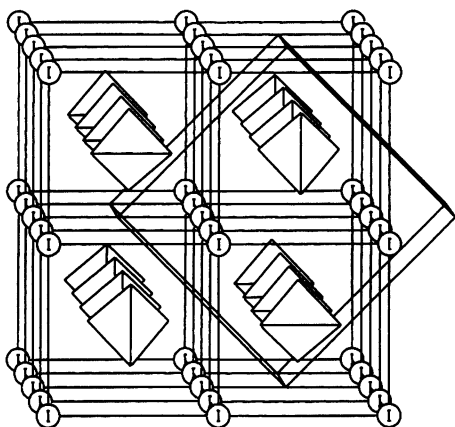


Abb. 3. CsCl-analoge Packung von  $[\text{P}(\text{NH}_2)_4]^+$ -Kationen (als geschlossene Tetraeder dargestellt) und I<sup>-</sup>-Anionen in **1**. Die tetragonale Elementarzelle von **1** ist eingezeichnet.

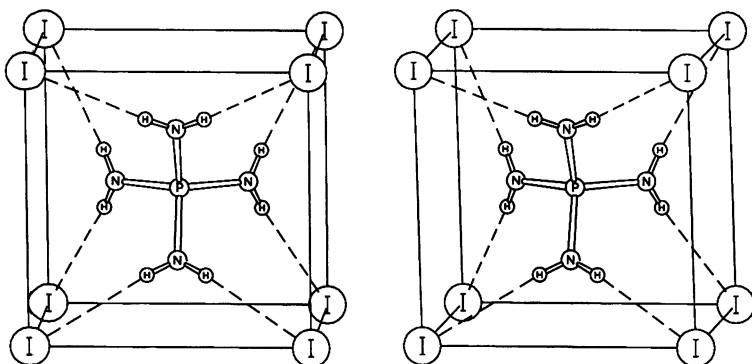


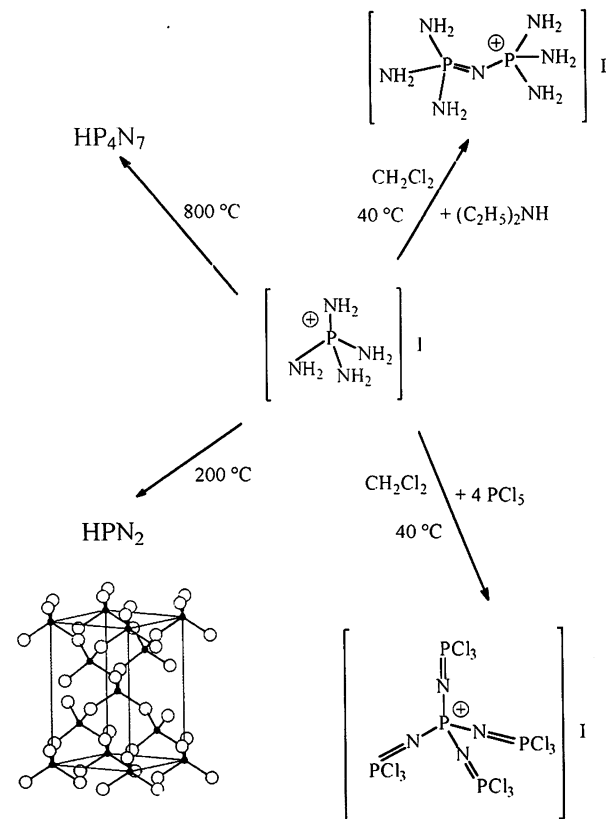
Abb. 4. Stereoskopische Darstellung der  $\text{N}-\text{H}\cdots\text{I}$ -Wasserstoffbrückenbindungen in 1.

Entsprechend einer bisphenoidischen Stauung der  $\text{PN}_4$ -Tetraeder ( $\text{N}-\text{P}-\text{N}$ : viermal  $102,7(1)^\circ$ , zweimal  $124,2(2)^\circ$ ) ergibt sich eine tetragonale Verzerrung der  $\text{CsCl}$ -analogen Einheiten mit einem Verhältnis  $c/a = 0,817$ .

Mit einer  $\text{P}-\text{N}$ -Bindungslänge von  $160,7(2)$  pm im Tetraaminophosphonium-Ion liegt der kürzeste bislang beobachtete Abstand  $\text{P}-\text{NH}_2$  vor (vgl. Tab. V). Nach O'Keeffe *et al.* [18] ergibt sich aus den vier  $\text{P}-\text{N}$ -Bindungen für das Phosphoratom eine Valenzsumme von 5,56. Die kurze  $\text{P}-\text{N}$ -Bindung könnte zwar im Zusammenhang mit der beobachteten Planarisierung an den Atomen ( $\text{P}-\text{N}-\text{H}$ :  $120(2)^\circ$ ,  $\text{H}-\text{N}-\text{H}$ :  $114(4)^\circ$ , Winkelsumme:  $354^\circ$ ) auf Doppelbindungsanteile hindeuten, die strukturellen Befunde stehen jedoch auch nicht im Widerspruch zur Annahme erhöhter polarer Bindungsanteile zwischen positiv geladenem Phosphor und  $\text{sp}^2$ -hybridisiertem Stickstoff.

Mit dem Säure-Base-Paar  $\text{H}_8\text{PN}_4^+/\text{PN}_4^{7-}$  bietet sich erstmals die Möglichkeit zum strukturellen Vergleich über acht Dissoziationsstufen. Bislang waren nur Säure-Base-Paare bekannt, die sich um maximal sechs Dissoziationsstufen unterscheiden (z. B.  $\text{H}_6\text{IO}_6^+/IO_6^{5-}$  [19],  $\text{H}_6\text{TeO}_6/\text{TeO}_6^{6-}$ ). In dem

vollständig deprotonierten Anion  $\text{PN}_4^{7-}$  wird, bedingt durch die Repulsion der hochgeladenen N-Atome, eine relativ lange  $\text{P}-\text{N}$ -Bindung (171 pm [20], Valenzsumme am Phosphor: 4,25 [18, 21]) gefunden. Im vollständig protonierten Tetraaminophosphonium-Ion verkürzt sich hingegen die  $\text{P}-\text{N}$ -Bindungslänge um annähernd 10 pm auf 160,7(2) pm.



Tab. V.  $\text{P}-\text{NH}_2$ -Abstände in Phosphor(V)-Verbindungen.

Verbindungen	Kürzester $\text{P}-\text{N}$ -Abstand der $\text{P}-\text{NH}_2$ -Gruppen [pm]	Zitat
$[\text{P}(\text{NH}_2)_4]\text{I}$	160,7(2)	diese Arbeit
cyclo-[ $\text{PN}(\text{NH}_2)_2$ ] <sub>3</sub>	164,1(4)	[15]
$\text{OP}(\text{NH}_2)_3$	164,9(2)	[16]
$\text{SP}(\text{NH}_2)_3$	165,7(3)	[8]
$\text{NH}_4[\text{OSP}(\text{NH}_2)_2]$	165,9(8)	[17]

## Kondensationsreaktionen von Tetraamino-phosphoniumiodid

Je nach Reaktionsbedingungen kann Tetraaminophosphoniumiodid für Kondensationsreaktionen im Festkörper oder in Lösungen eingesetzt werden. So setzt sich  $[P(NH_2)_4]I$  bereits ab 200 °C im Vakuum zu polymerem Phosphornitridimid HPN<sub>2</sub> um [22]. Wird die Kondensation bei 800 °C in geschlossenen Druckampullen durchgeführt, so sublimiert Ammoniumiodid ab und es bildet sich kristallines Phosphornitridimid HP<sub>4</sub>N<sub>7</sub> [1].

In Chloroform soll das Tetraaminophosphonium-Ion bei 40 °C unter Einwirkung von Diethylamin zum 1,1,1,3,3,3-Hexaamino-1λ<sup>5</sup>,3λ<sup>5</sup>-diphosphanenium-Kation  $[(NH_2)_3P=N-P(NH_2)_3]^+$  kon-

densieren [5]. Die Umsetzung von Tetraaminophosphoniumiodid in Dichlormethan mit PCl<sub>5</sub> bei 40 °C führt zum Tetrakis(trichlorophosphazo)-phosphonium-Ion  $[(Cl_3P=N)_4P]^+$  [5].

Wie schon die wenigen angeführten Kondensationsreaktionen belegen, ist das Tetraaminophosphonium-Ion ein vielversprechender Baustein zur Entwicklung neuer Synthesen auf dem Weg vom Molekül zum Festkörper.

### Dank

Herrn Prof. Dr. A. Schmidpeter, Universität München, danken wir für anregende Diskussionen. Diese Arbeit wurde gefördert von der Deutschen Forschungsgemeinschaft und dem Fonds der Chemischen Industrie.

- 
- [1] W. Schnick, Angew. Chem. **105**, 846 (1993).
  - [2] W. Schnick in: Proc. 10th Internat. Zeolite Conf., Garmisch-Partenkirchen; J. Weitkamp, H. G. Karge, H. Pfeiffer, W. Hölderich (Hrsg.), Elsevier, Amsterdam (1994).
  - [3] W. Schnick, J. Lücke, Z. Anorg. Allg. Chem. (1994), im Druck.
  - [4] M. Becke-Goehring, K. Niedenzu, Chem. Ber. **90**, 2072 (1957).
  - [5] A. Schmidpeter, C. Weingand, Angew. Chem. **81**, 573 (1969).
  - [6] W. Schnick, S. Horstmann, A. Schmidpeter, Angew. Chem. **106**, 818 (1994).
  - [7] A. Schmidpeter, C. Weingand, Angew. Chem. **80**, 234 (1968).
  - [8] W. Schnick, Z. Naturforsch. **44b**, 942 (1989).
  - [9] D. D. Perrin, W. L. F. Armarego, „Purification of Laboratory Chemicals“, Pergamon Press, Oxford (1992).
  - [10] G. M. Sheldrick, SHELLXTL-PLUS V 4.2 Crystallographic System, Siemens Analytical X-Ray Instruments Inc., Madison, WI (1992).
  - [11] A. F. Wells, „Structural Inorganic Chemistry“, Clarendon Press, Oxford (1984).
  - [12] W. Biltz, „Raumchemie der festen Stoffe“, Leopold Voss, Leipzig (1934).
  - [13] E. Parthé, Z. Kristallogr. **115**, 52 (1961).
  - [14] A. Bondi, J. Phys. Chem. **68**, 441 (1964).
  - [15] H. Jacobs, R. Kirchgässner, Z. Anorg. Allg. Chem. **581**, 125 (1990).
  - [16] G. J. Bullen, F. S. Stephens, R. J. Wade, J. Chem. Soc. A, 1804 (1969).
  - [17] D. Mootz, W. Look, G. Sassmannshausen, Z. Anorg. Allg. Chem. **358**, 282 (1968).
  - [18] N. E. Breese, M. O’Keeffe, Acta Crystallogr. B **47**, 192 (1991).
  - [19] T. Kraft, M. Jansen, Chem. Ber. **126**, 2415 (1993).
  - [20] W. Schnick, J. Lücke, J. Solid State Chem. **87**, 101 (1990).
  - [21] N. E. Breese, M. O’Keeffe in: Struct. Bonding **79**, 307 (1992).
  - [22] W. Schnick, J. Lücke, Z. Anorg. Allg. Chem. **610**, 121 (1992).